

**INTERAKCE LIPIDOVÝCH SLOŽEK VÝŽIVY
S ENDOGENNÍMI REGULÁTORY
CYTOKINETIKY VE STŘEVĚ**

Laboratoř
cytokinetiky

Biofyzikální ústav AVČR, BRNO

VÝŽIVA

hraje roli při vzniku v aterosklerózy, nádorů a řady dalších onemocnění.

Mechanismy jsou předmětem výzkumu

Je prokázáno, že

vysoký příjem kalorií a tvorba tukových zásob je rizikovým faktorem.

Příjem, absorpce a metabolismus velkého množství potravy vyžaduje **oxidativní metabolismus** a produkuje více reaktivních kyslíkových radikálů, které poškozují DNA.

Ukázalo se, že příjem tuků, zejména živočišných zvyšuje riziko aterosklerózy a nádorů.

Epidemiologické studie předpokládají

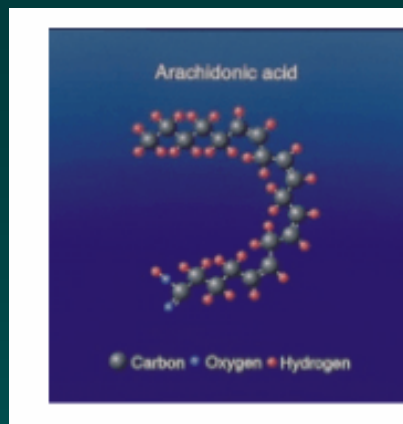
pozitivní korelaci mezi příjmem tuků a nádory prsu, kolonu a prostaty.

Navzdory dlouhé historii studií tuků a nádorů, zůstává řada protikladů.

Ukazuje se, že nejen kvantita, ale i kvalita tuků hraje důležitou roli, a že se zde uplatňují i rostlinné oleje a rybí olej, zejména

vysoce nenasycené mastné kyseliny (VNMK, PUFAs)

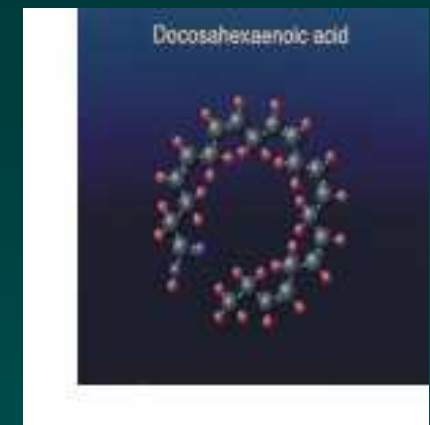
tříd n-3 a n-6



Zdroje tuků

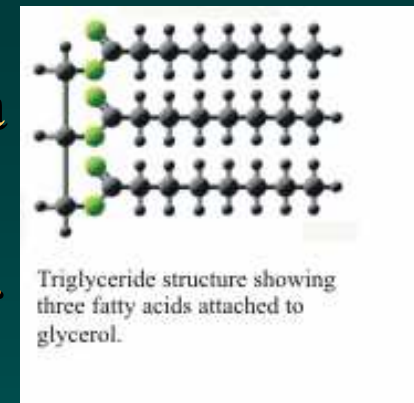
živočišné a rostlinné

Mastné kyseliny



- ▶ s krátkým řetězcem – 6-12 C (SCFA)
kys. máselná, propionová
- ▶ nasycené – 12 a více C
kys. palmitová, stearová
- ▶ mononenasycené – 16 a 18 C, 1 dvojná vazba
kys. palmitoolejová, olejová
- ▶ polynenasycené (PUFA) – 18 a více C, 2 a více dvojných vazeb
kys linoleová, alfa-linolenová – esenciální MK

Změny membránových fosfolipidů přímo ovlivňují **syntézu lipidových mediátorů** typu **eikosanoidů**, PAF a sekundárních přenašečů diacylglycerolu a ceramidu. Lipidové mediátory ovlivňují produkci a funkci cytokinů. To má důležitý dopad na řadu imunitních a buněčných funkcí včetně proliferace, diferenciaci a apoptózy



Imbalance v lipidovém metabolismu hraje roli u mnoha závažných onemocnění

- ▶ Vysoká hladina cholesterolu je spojena s kardiovaskulárními chorobami, které jsou nejčastější příčinou úmrtí v populaci.
- ▶ Lipidy produkované buňkami imunitního systému jsou zahrnuty v zánětlivých onemocněních jako je revmatoidní artritida, sepse, astma, zánětlivé onemocnění střeva.
- ▶ Lipidy hrají úlohu také v psychických a neurodegenerativních onemocněních (deprese, schizofrenie, Alzheimerova choroba)
- ▶ Lipidy ovlivňují počátek a rozvoj nádorových onemocnění

Relativní procento různých mastných kyselin v potravě a změny způsobené průmyslovým zpracováním potravin

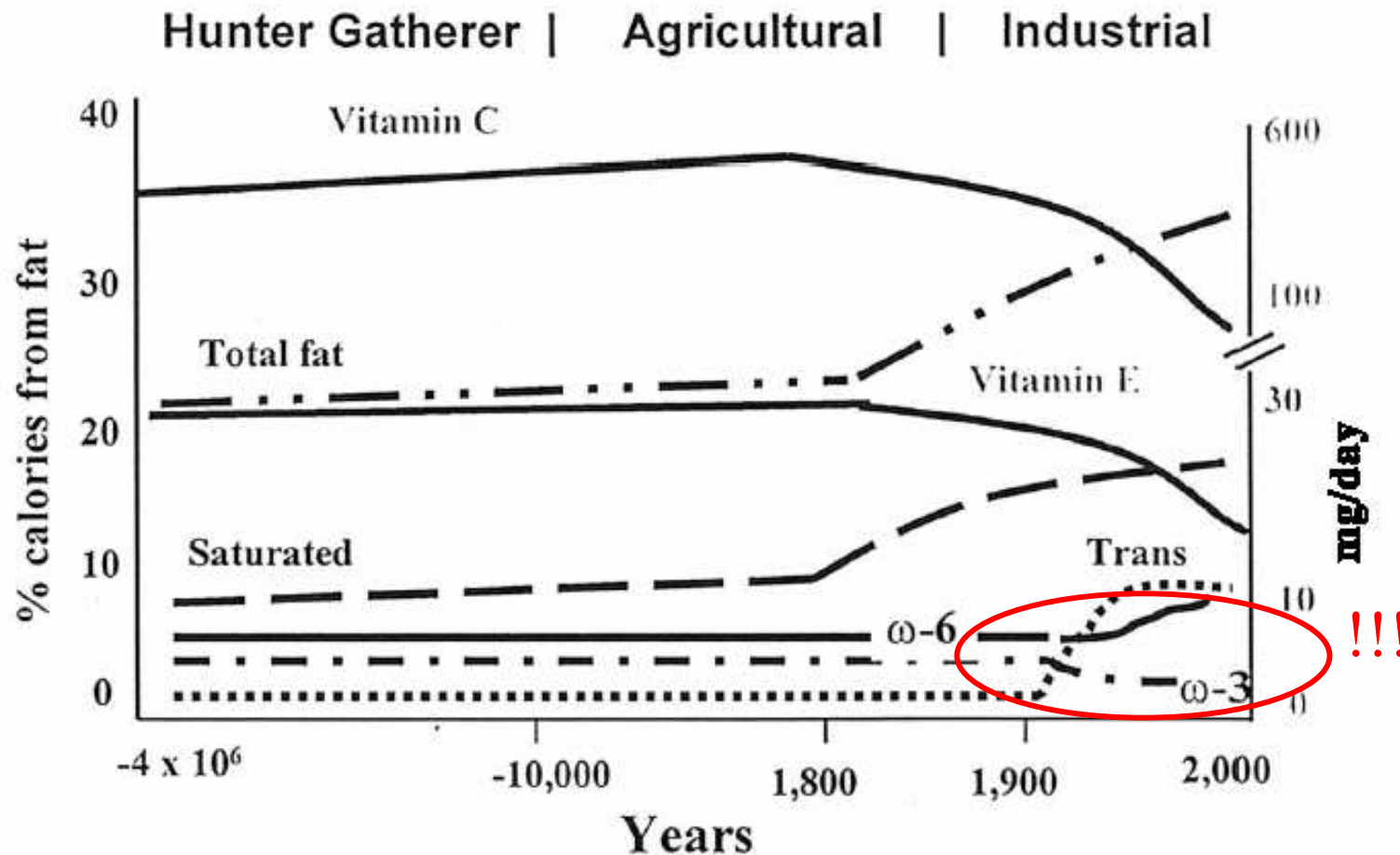


Fig. 1. Hypothetical scheme of fat, fatty acid ($\omega-6$, $\omega-3$, *trans* and total) intake (as percentage of calories from fat) and intake of vitamins E and C (mg/d). Data were extrapolated from cross-sectional analyses of contemporary hunter-gatherer populations and from longitudinal observations and their putative changes during the preceding 100 years [75].

VYSOCE NENASYCENÉ MASTNÉ KYSELINY

(Polyunsaturated fatty acids - PUFAs) - mastné kyseliny s 2 i více dvojnými vazbami.

Tři hlavní skupiny PUFAs:

n-3 (omega-3), n-6 a n-9, podle polohy dvojných vazby nejbližší ke koncovému metylovanému uhlíku.

Tyto jsou metabolizovány stejným způsobem alternativními **desaturačními a elongačními enzymy.**

NOMENKLATURA:

Např. kyselina arachidonová, 20:4, n-6

20 - počet uhlíků

4 - počet konjugovaných dvojných vazeb

n-6 - poloha první dvojných vazby od metylovaného konce molekuly

Téměř všechny dvojných vazby jsou ve víceméně stabilní cis - konfiguraci.

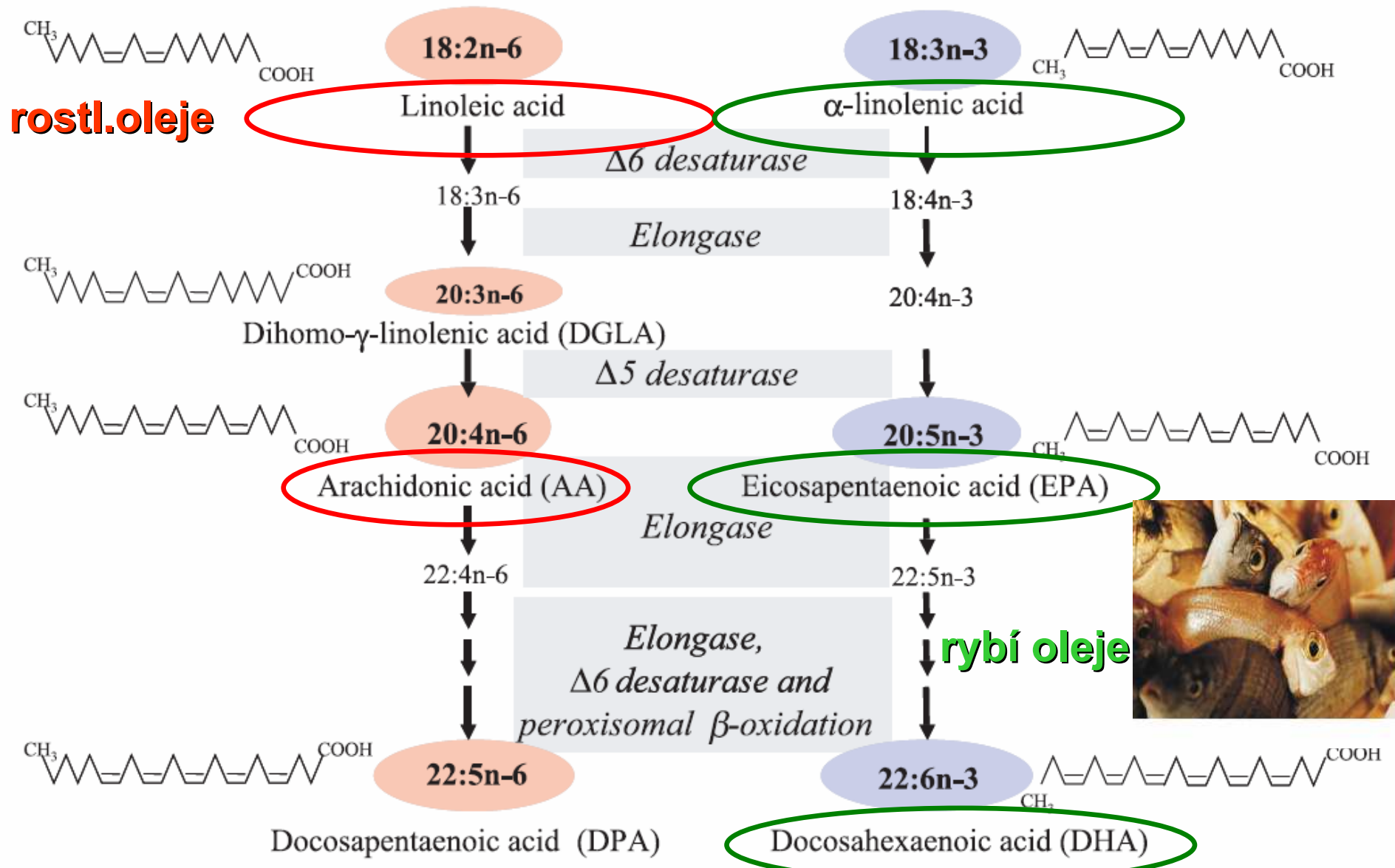
Živočichové nedovedou syntetizovat n-3 a n-6 PUFAs de novo ani nedovedou přeměnit jednu sérii v druhou.

Tyto **ESENCIÁLNÍ MASTNÉ KYSELINY** musí být obsaženy v potravě podobně jako vitamíny. Jsou životně důležité jako složka všech membrán a permeabilní bariéry pokožky a jako prekursorů eikosanoidů a s nimi souvisejících látek, které hrají důležitou regulační úlohu ve tkáních.

Zdrojem jsou rostlinné oleje (n-6 PUFA) a rybí olej (n-3 PUFA)

VYSOCE NENASYCENÉ MASTNÉ KYSELINY (VNMK)

(Polyunsaturated fatty acids - PUFAs) - mastné kyseliny s 2 i více dvojnými vazbami. Esenciální prekurzorové kyseliny řady n-6 a n-3



Důležitý je poměr n-3: n-6 VNMK!!!

Kys. linolová (18:2, ω -6)

kyselina arachidonová (AA, 20:4), rostlinné oleje
zdroj eikosanoidů (prostaglandiny, leukotrieny) význam u
různých nádorů.

V experimentálních systémech často podpůrný účinek pro
vznik a rozvoj nádorů

Kys. alfa-linolenová (18:3, ω -3)

kys. eikosapentaenová (20:5) a dokosahexaenová (22:6)
z rybích a některých rostl. olejů (pupalka, len, rakytník)

V experimentálních systémech často inhibiční účinek pro
vznik a rozvoj nádorů



LIPIDOVÉ SLOŽKY VÝŽIVY

VÍCE, NEŽLI JEN ZDROJ ENERGIE!!!!

- ◆ strukturální a regulační úloha
- ◆ dopad na fyziologické funkce organismu
 - ▶ účinky na imunitní systém
 - ▶ regulace proliferace, diferenciaci a apoptózy

- ▶ úloha v karcinogenezi

(etiologie nádorů tlustého střeva, prostaty, prsu)

Spolu s cytokiny a hormony fungují jako intra- i intercelulární mediátory a modulátory buněčné signalizační sítě

Poměr obsahu ω -6 a ω -3 esenciálních vysoce nenasycených mastných kyselin (**VNMK**) ovlivňuje vlastnosti membrán, zejména jejich fluiditu a produkci látek vznikajících hydrolýzou membránových fosfolipidů.

Tyto změny pak ovlivňují vazbu cytokinů, aktivitu receptorů i funkci na membránu vázaných signálních molekul (G proteinů, fosfolipáz atd.).

Patologické změny v produkci a funkci cytokinů a eikosanoidů přispívají k rozvoji nádorových onemocnění zejména ovlivněním imunitního systému a buněčné kinetiky

Metabolismus a obrat fosfolipidů v membránách i oxidativní metabolismus nádorových buněk se zásadně liší od buněk nenádorových.

Nádorové buňky kolonu vykazují:

- ◆ změny ve spektru a koncentraci VNMK ve srovnání s normální tkání
- ◆ zvýšenou periferní utilizaci VNMK z potravy
- ◆ změny v oxidativním metabolismu a antioxidační ochraně
- ◆ zvýšenou aktivitu enzymů metabolismu kys. arachidonové (COX2, 12-LPO...) a produkci eikosanoidů
- ◆ sníženou citlivost k endogenním inhibitorům růstu (TGF- β 1), induktorům apoptózy (TNF α , FasL, TRAIL) a diferenciaci (butyrát)

VLÁKNINA

Table 1. Possible mechanisms for the protective action of dietary fibre on colorectal oncogenesis

Physical

- Increased bulk and dilution of carcinogen
- Decreased contact time due to more rapid transit
- Binding of carcinogen
- Binding of bile salts

Prebiotic and metabolic action of flora

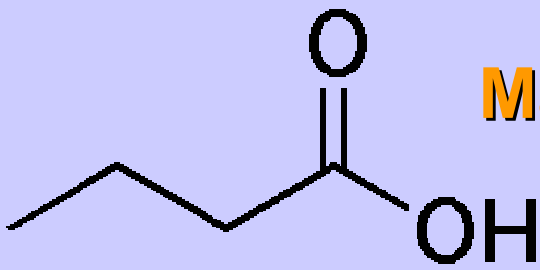
- Alteration of colonic microflora; numbers and species balance
- Inhibition of carcinogen activation
- Stimulation of flora to increase bulk
- Alteration of bile salt metabolism to reduce conversion to secondary bile salts

Fermentative

- Lowering of pH
- Reduced solubility of bile salts
- Increased production of SCFAs, especially butyrate

Metabolic

- Reduced insulin resistance and hyperinsulinaemia

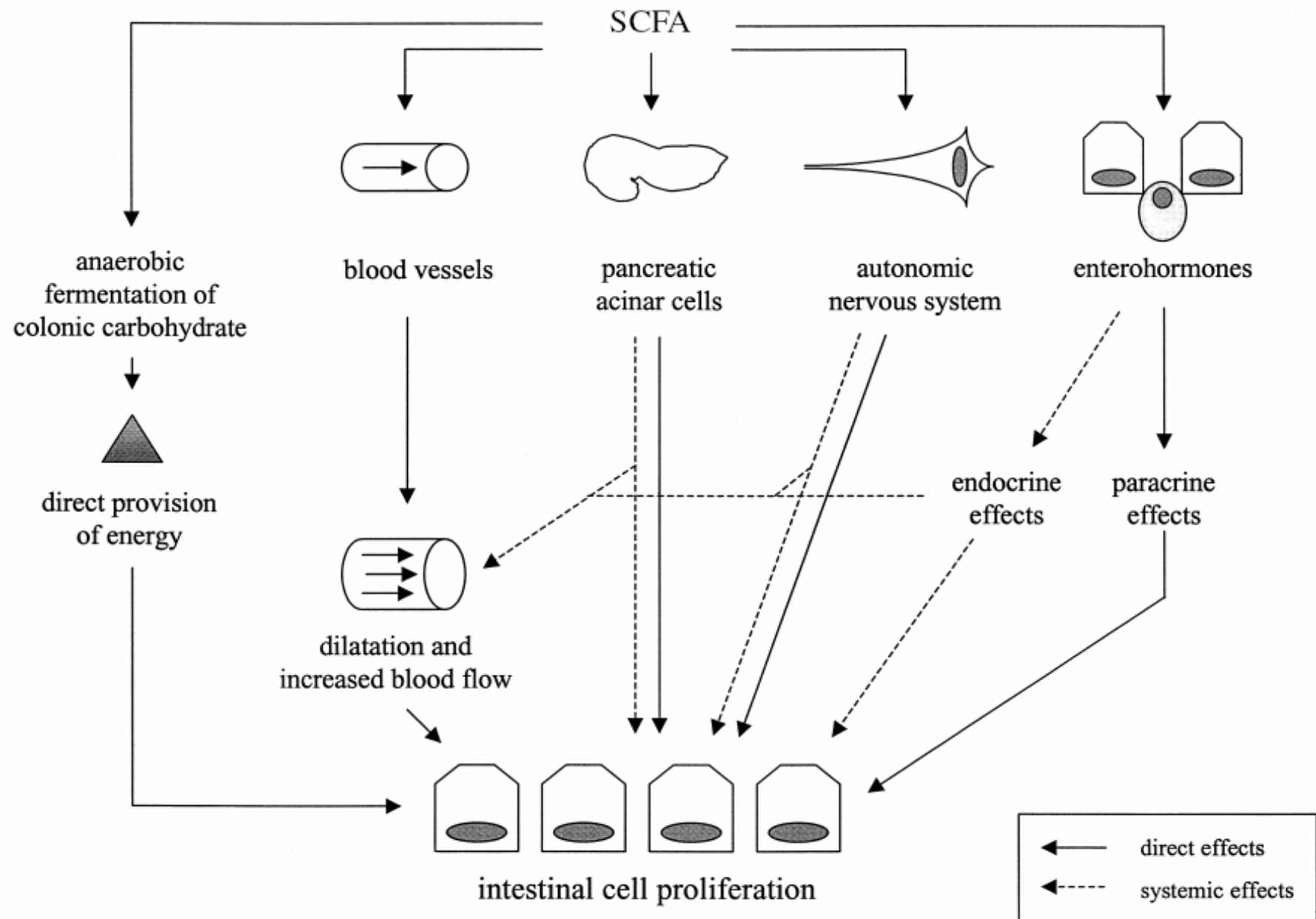


Mastné kyseliny s krátkým řetězcem– BUTYRÁT

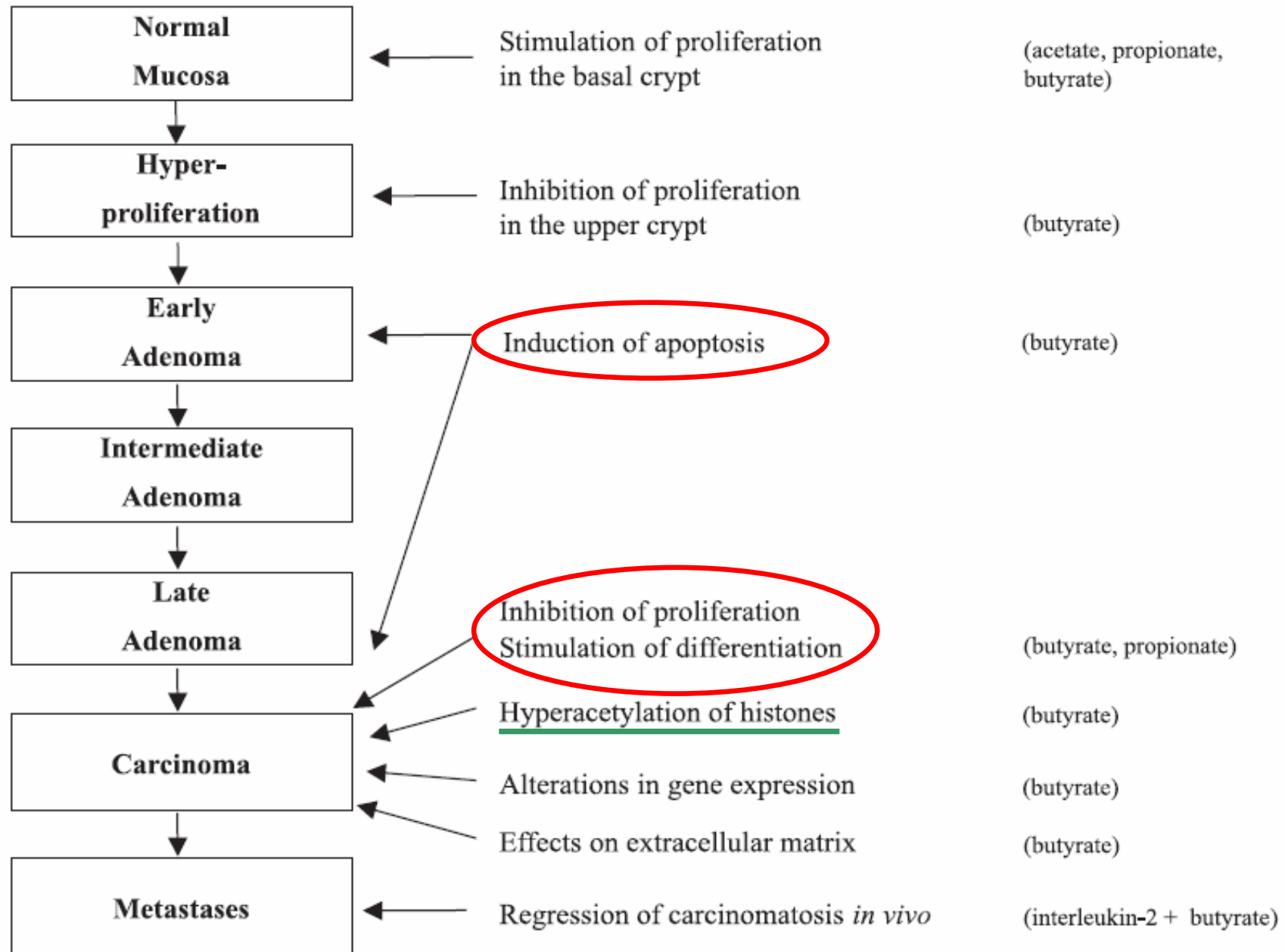
- ▶ produkován anaerobní mikrobiální fermentací vlákniny ve střevě
- ▶ zdroj energie pro normální kolonocyty
- ▶ významný pro udržení homeostázy ve střevní tkáni regulací exprese genů spojených s regulací proliferace, diferenciace a apoptózy (microarray analýza – změny exprese 19 400 genů), exportní protein MCT1
- ▶ butyrát sodný (NaBt) snižuje proliferaci a indukuje diferenciaci a apoptózu neoplastických kolonocytů *in vitro* a *in vivo*

Prevence NÁDORŮ TLUSTÉHO STŘEVA

Možné mechanismy působení SCFA na proliferaci a funkci střevních buněk



The effects of butyrate in the colon epithelial cells during adenoma-carcinoma transition



Účinky butyrátu na nádorové buňky:

Inhibice proliferace – blok v G1 nebo G2/M, indukce p21, Cyklin D1,D3, downregulace c-myc

Indukce diferenciaci a apoptózy – genové arrays

Inhibitor histon deacetyláz – změny exprese genů

Ovlivnění specif. kináz, aktivace PPAR gamma, inhibice NFkB

Inhibice c-Src, FAK, iNOS, COX-2

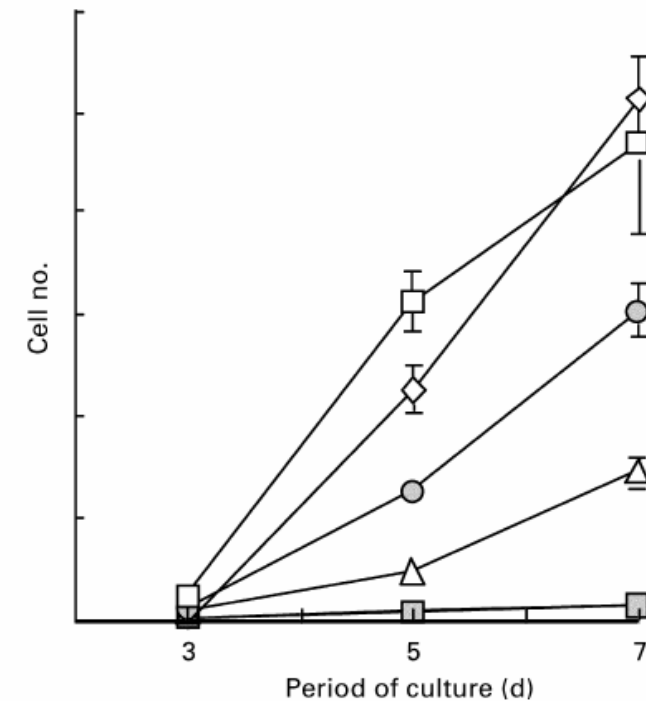
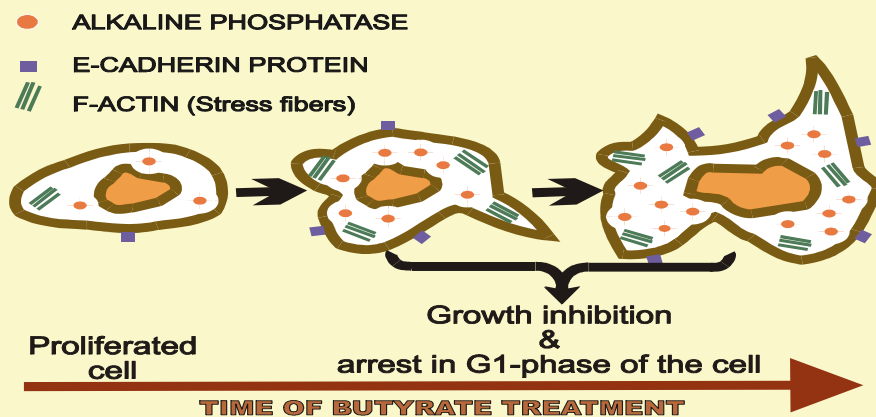
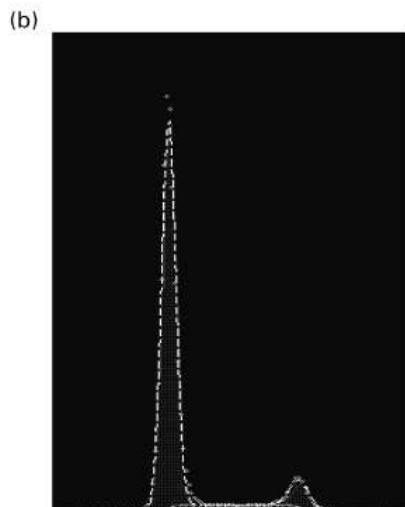
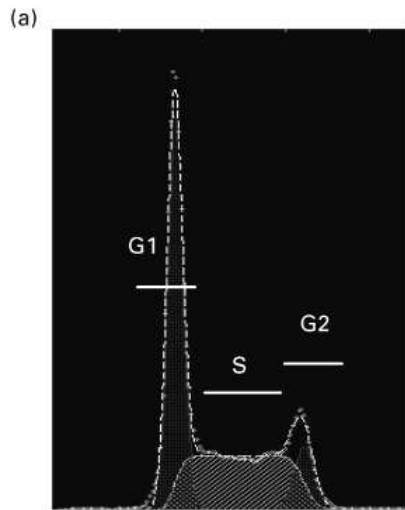


Fig. 1. Dose-dependent inhibition of rat non-tumoural intestinal epithelial cells (IEC-6) by butyrate as assessed *in vitro*. Cells were cultured without (◇; control) or with butyrate (□, 0.5 mM; ●, 1 mM; △, 2 mM; ▨, 5 mM) and cell number was measured after 3, 5 and 7 d.

Short-chain fatty acids

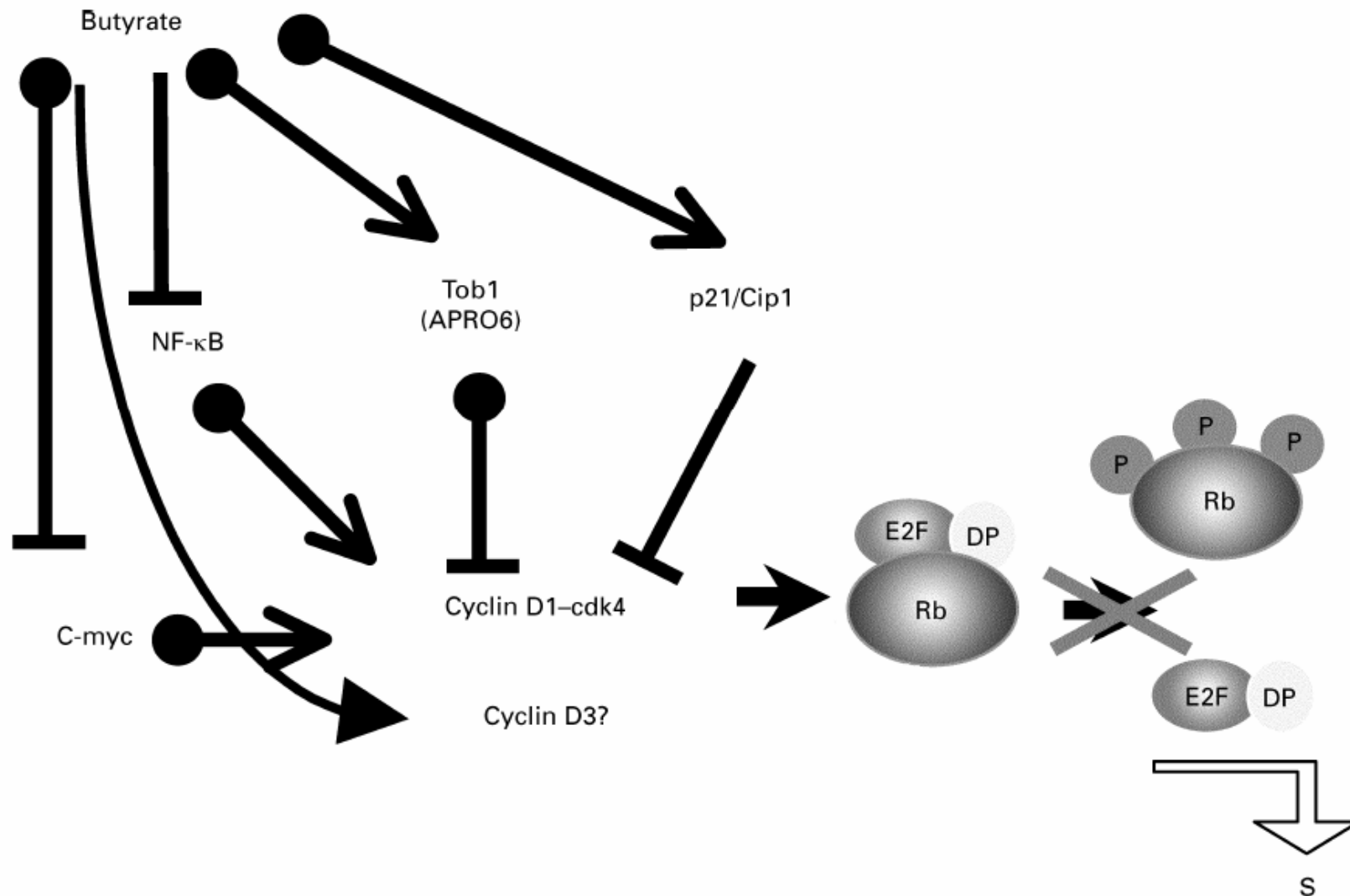


Fig. 4. Overview of the different pathways leading to inhibition of cell proliferation and the blocking of the G1 stage of the cell cycle (for details, see p. 104). NF-κB, nuclear factor kappa B; Rb, retinoblastoma protein; cdk, cyclin-dependent kinases; p21/cip 1, a member of the Cip/Kip family which bind to the cyclin–cdk complex to inhibit its activity; Tob1 (APRO6), a member of the anti-proliferative family APRO, members of which control cyclin D1 transcription.

NÁDORY KOLOREKTA (CRC)

Výskyt

industrializované země (životní styl, výživa)

ČR (třetí nejčastější příčina úmrtí na rakovinu)

věková distribuce (muži nárůst případů od 60 let; ženy od 70 let)

Epitel kolorekta

střevní krypty (část proliferační a diferenciací)

výměna epitelu (zrání buněk, odumírání apoptózou-anoikis (detachment-induced apoptosis))

koncentrace růstových faktorů v kryptách (v proliferační části více buněk produkujících GF)

Kolorektální karcinogeneze

porušení rovnováhy mezi proliferací a diferenciací v kryptě
hyperproliferativní krypta, adenom, adenokarcinom,
karcinom, metastázy

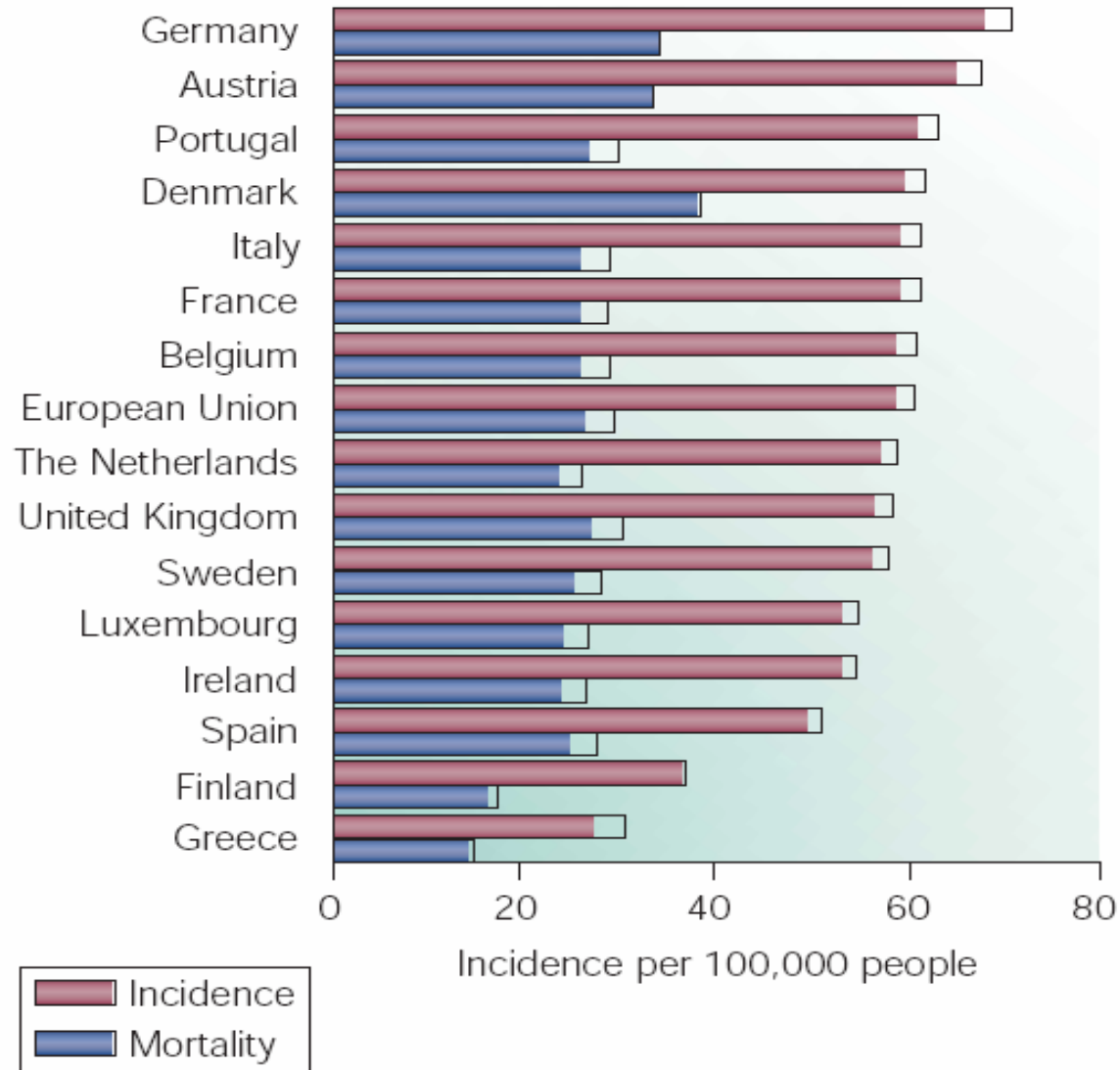
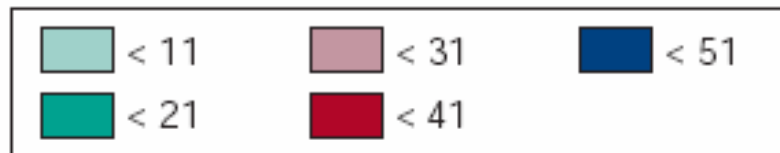
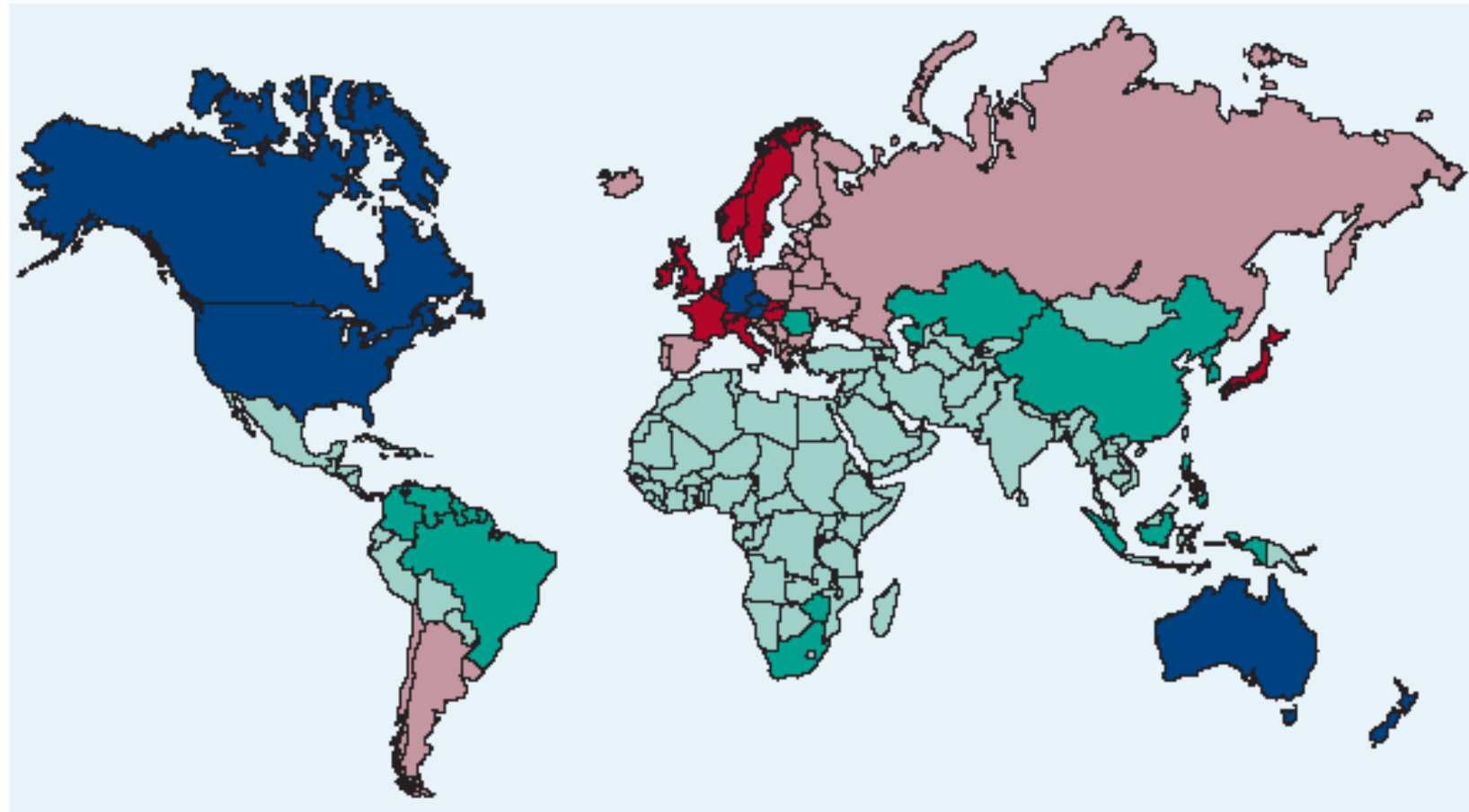
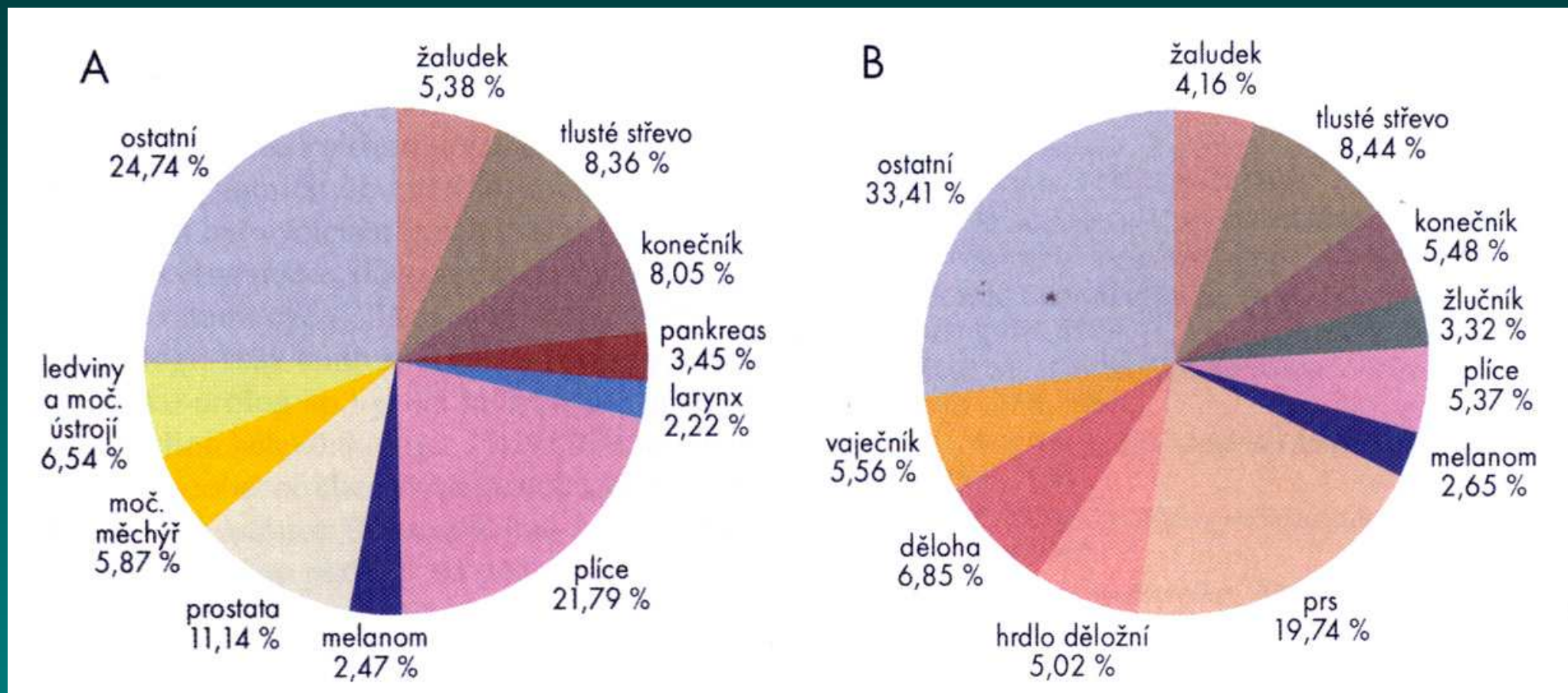


Figure 1 | **Colorectal cancer incidence in males in the European Union.** Rates of colorectal cancer by incidence, per 100,000 people, and mortality during 1996. Data were collected from Eucan — a service that provides data on the incidence and mortality of 24 key cancers in 15 member states of the European Union².

a Incidence rates of colorectal cancer





Struktura hlášených onemocnění novotvary bez dg. C44. A – muži; B – ženy (podle ÚZIS)

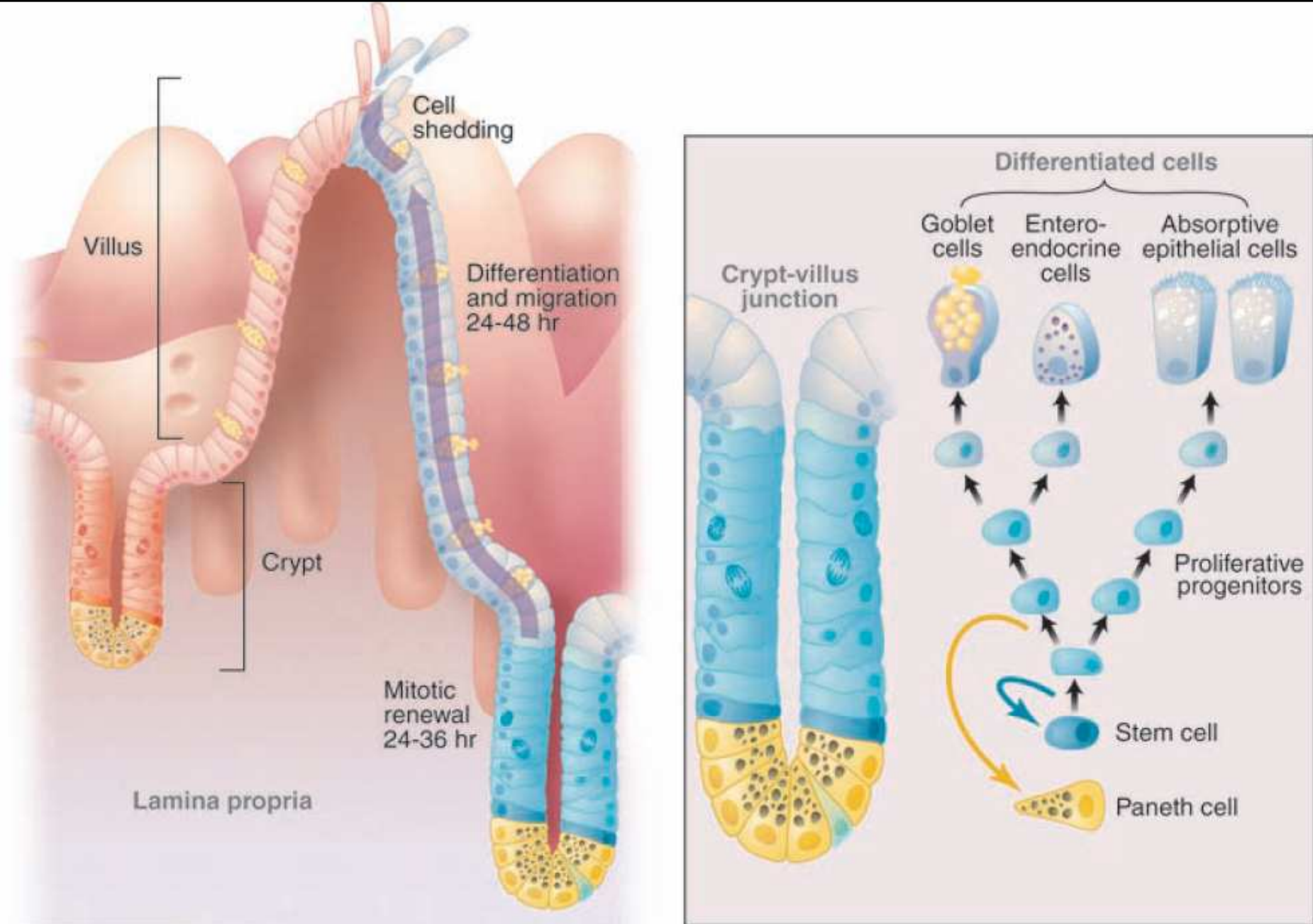


Fig. 1. The anatomy of the small intestinal epithelium. The epithelium is shaped into crypts and villi (left). The lineage scheme (right) depicts the stem cell, the transit-amplifying cells, and the two differentiated branches. The right branch constitutes the enterocyte lineage; the left is the secretory lineage. Relative positions along the crypt-villus axis correspond to the schematic graph of the crypt in the center.

Obnova střevní výstelky

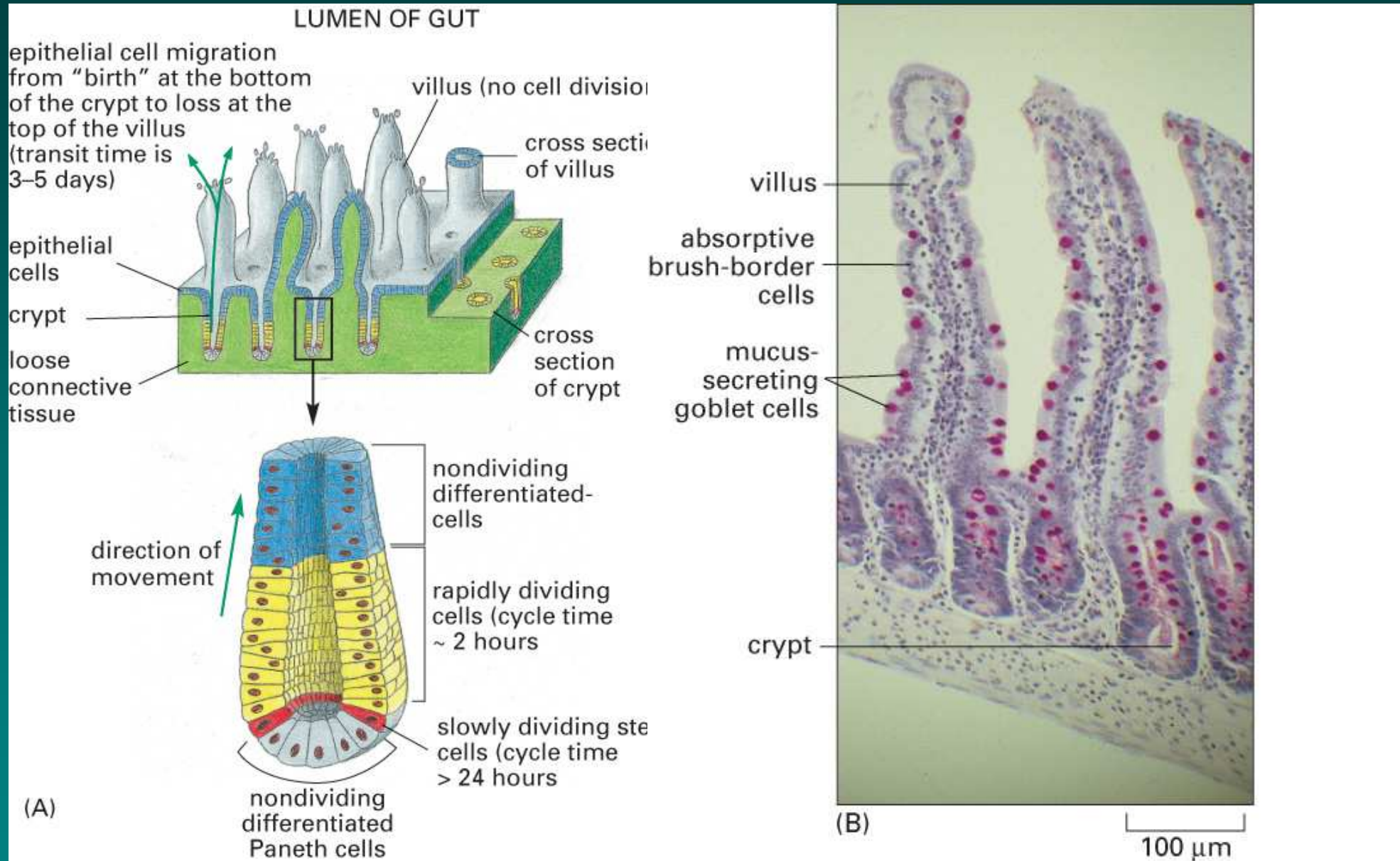
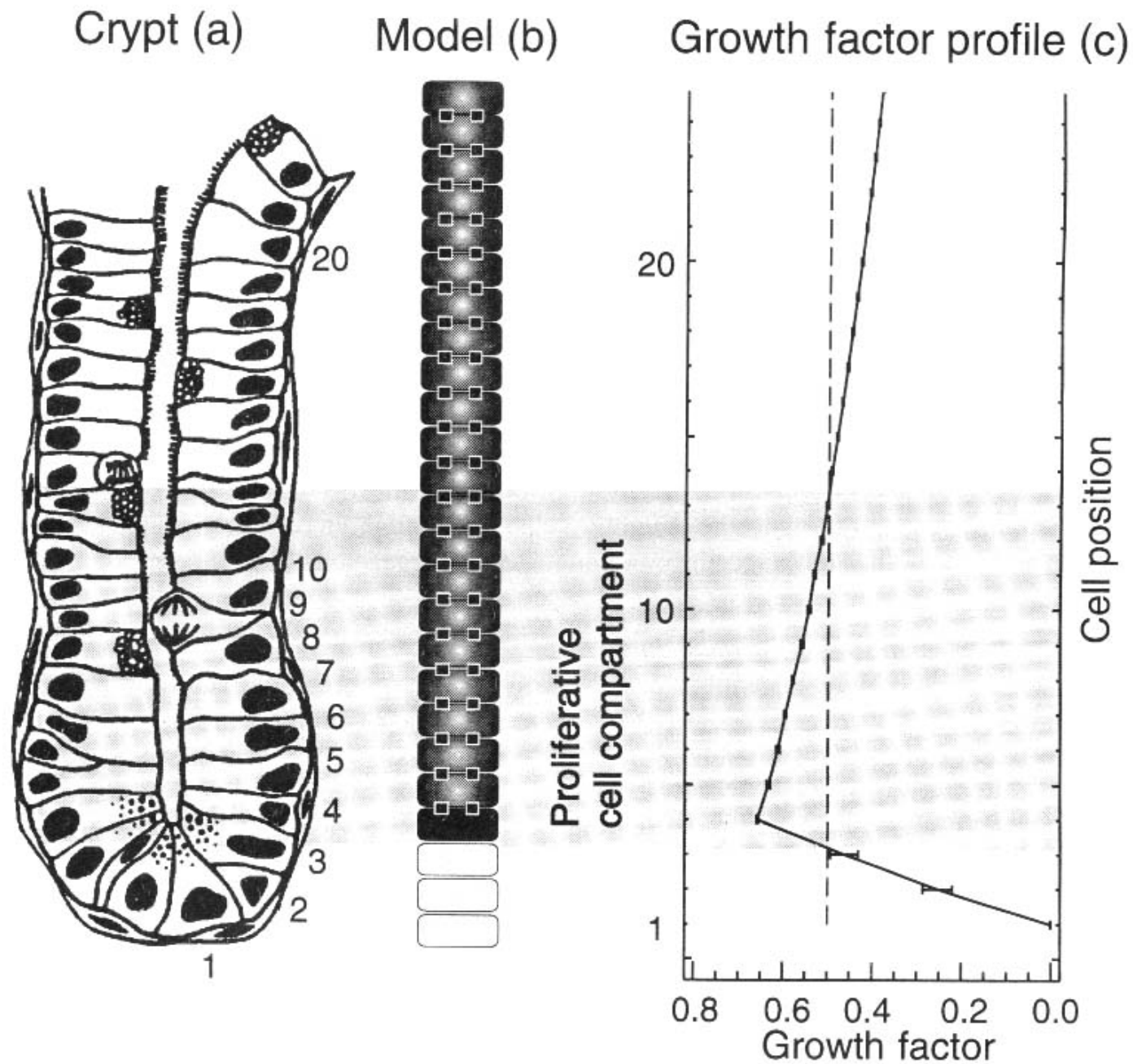


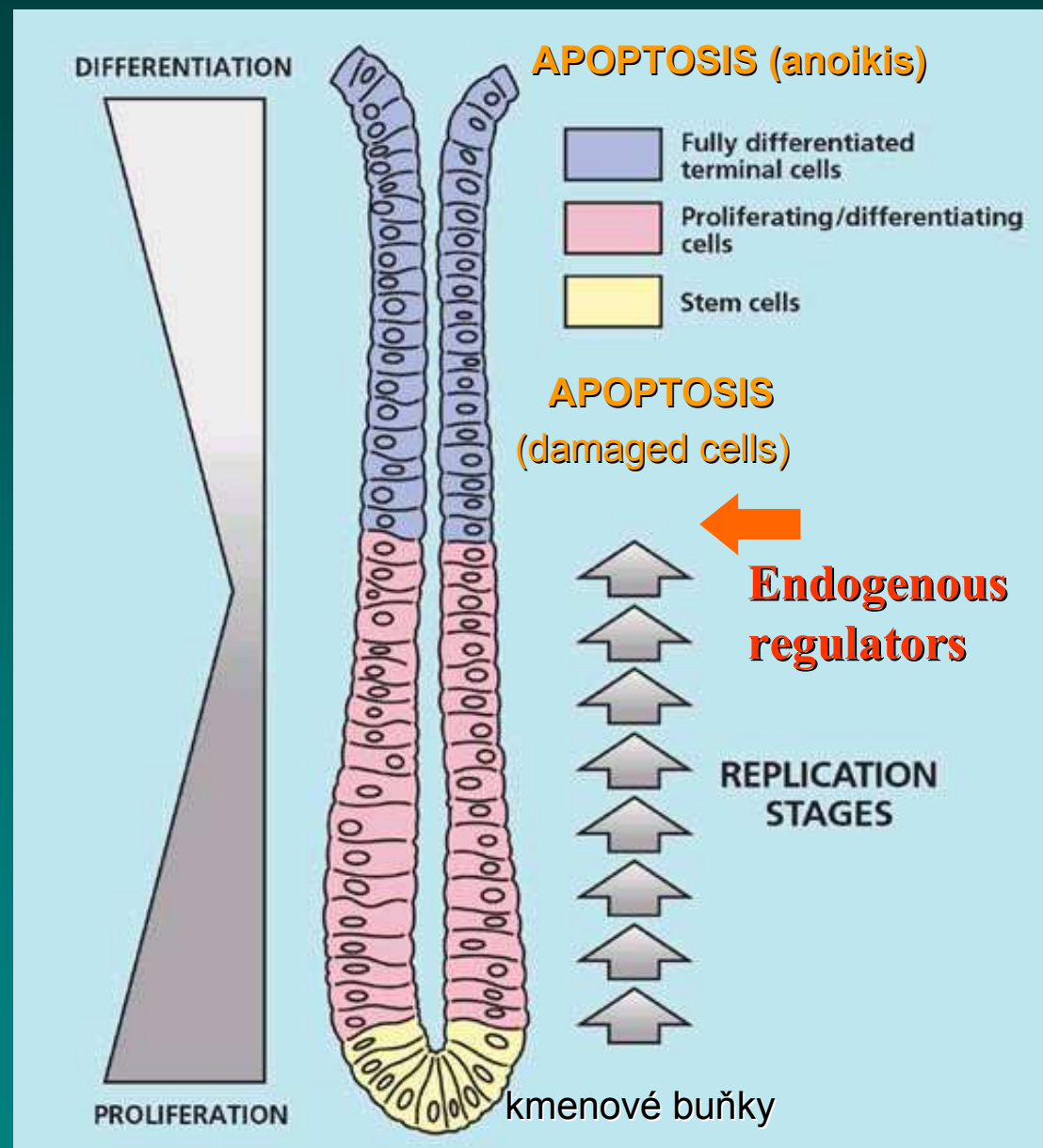
Figure 22-19 part 1 of 2. Molecular Biology of the Cell, 4th Edit

Střevní krypta a profil růstových faktorů

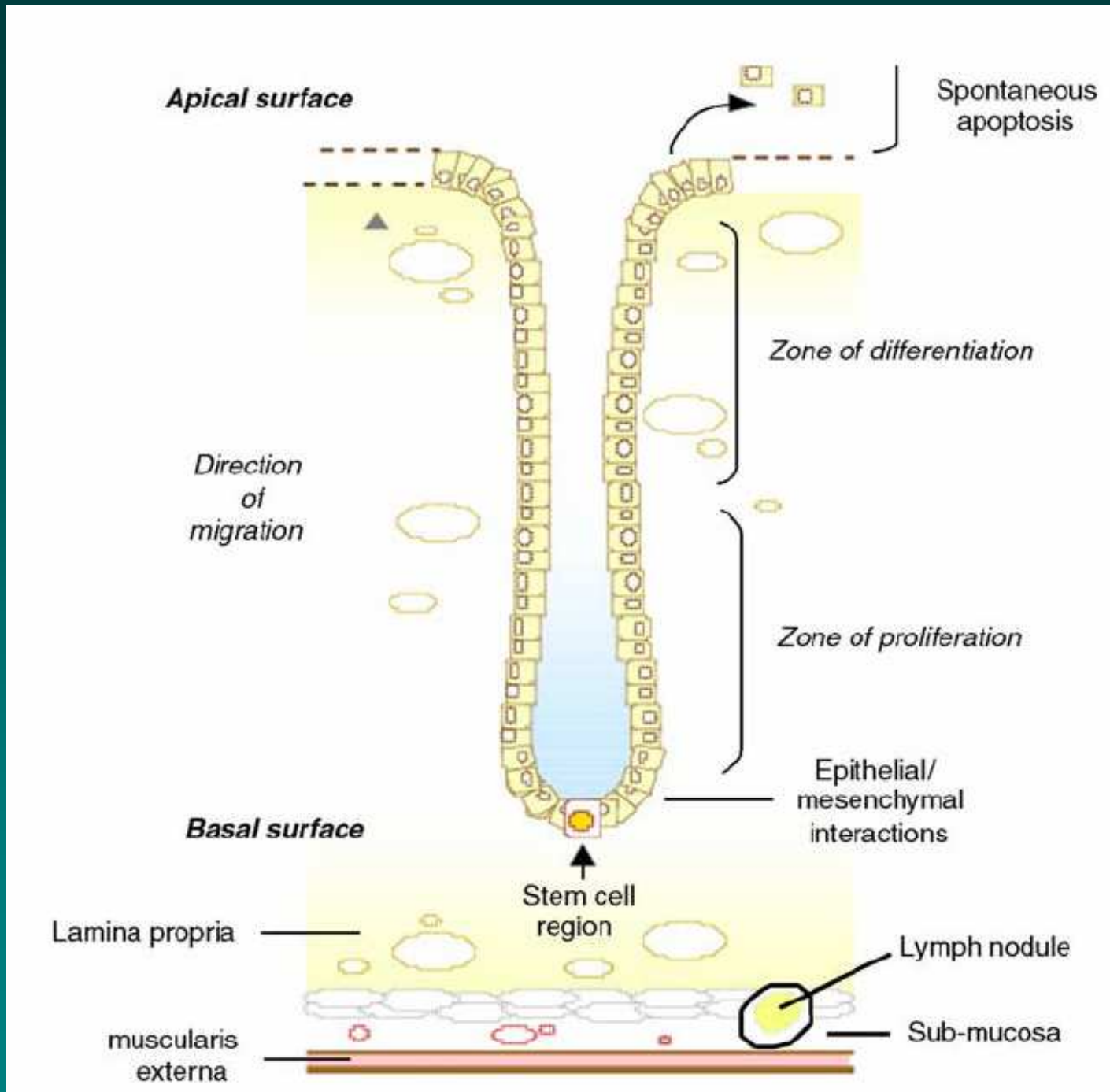


EPITEL TLUSTÉHO STŘEVA (kolonu)

- ◆ kontinuálně se obnovující buněčné populace
- ◆ řada zásadních fyziologických funkcí
- ◆ dynamická rovnováha mezi přírůstkem buněk na bázi krypty (proliferace) a úbytkem (anoikis – „detachment induced apoptosis“) na povrchu.
- ◆ regulace endogenními faktory (hormones and cytokines), ale rovněž složkami diety přítomnými v lumen střeva



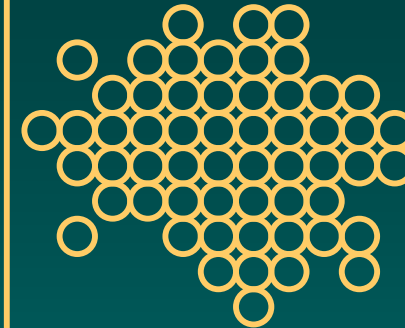
Rovnováha mezi proliferací, diferenciací a apoptózou ve střevní kryptě



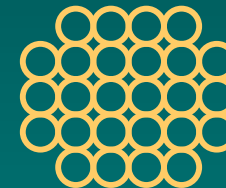
Vliv různé intenzity apoptózy na homeostázu

Rychlost buněčné
proliferace

Intenzita (rychlost)
apoptózy



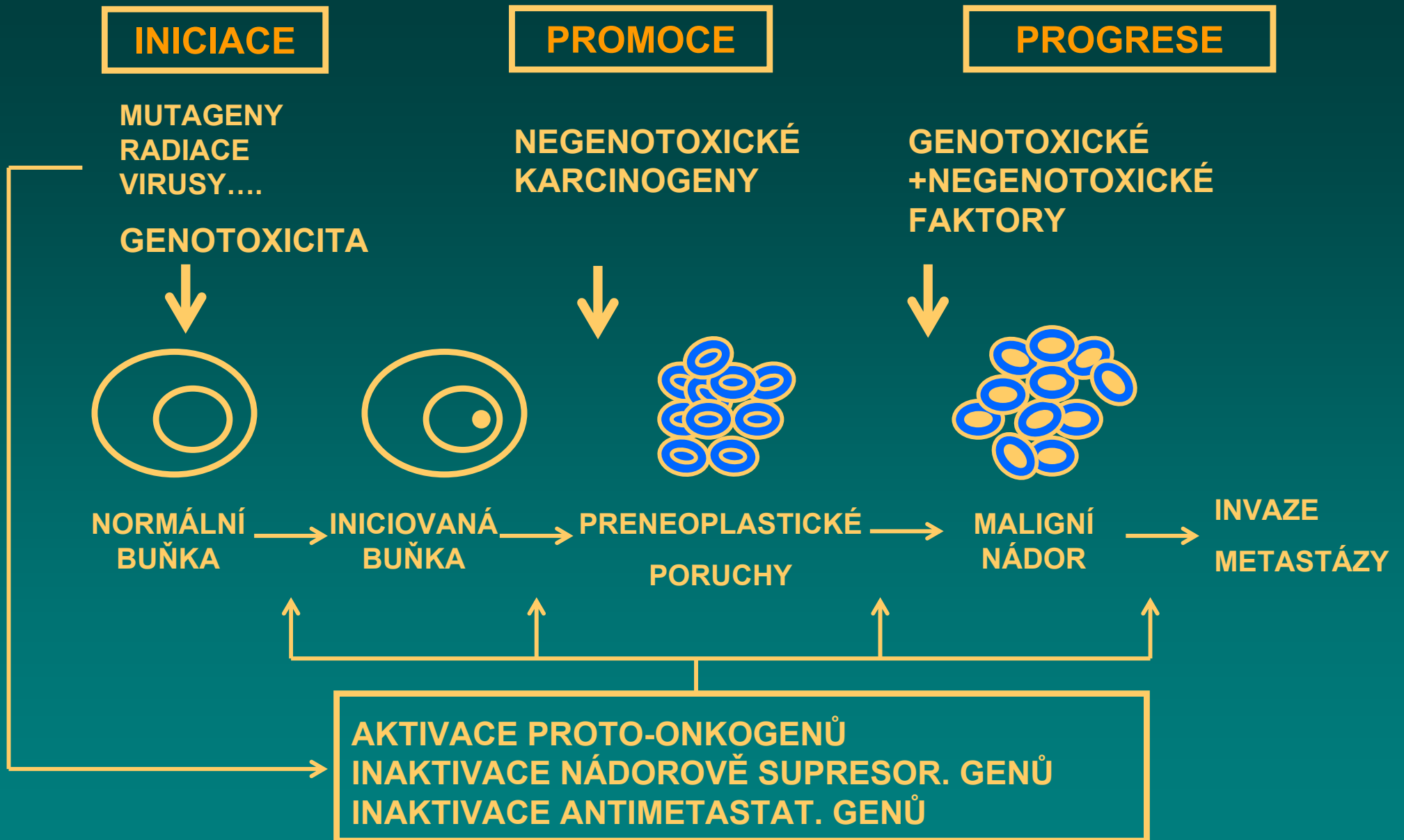
akumulace
buněk



homeostáza

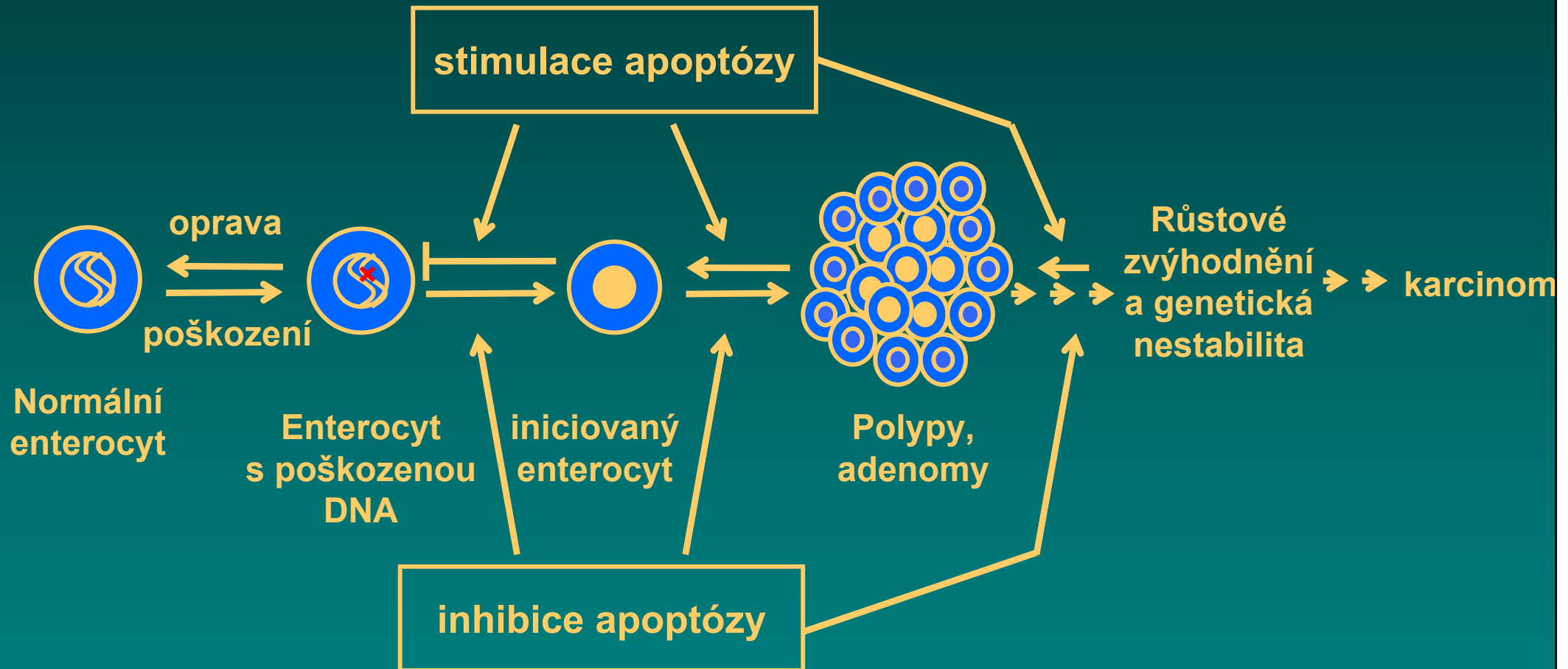


úbytek buněk



Mnohostupňový proces karcinogeneze

Vliv narušení (stimulace/inhibice) průběhu apoptózy v rámci procesu vícestupňové karcinogeneze



Karcinogeneze však znamená víc než jen mutagenezi

Kromě genových a chromozomálních mutací (genotoxicita) zahrnuje i
NEGENOTOXICKOU SLOŽKU (EPIGENETICKÉ DĚJE)
změny v expresi genetické informace
na transkripční, translační nebo postranslační úrovni

Geny jsou zapínány a vypínány

- ▶ během vývoje
- ▶ během buněčného cyklu, když buňka proliferuje
- ▶ když buňka diferencuje
- ▶ když je diferencovaná buňka stimulována k adaptivní odpovědi

Iniciovaná kmenová buňka je omezena v dalším růstu okolními normálními buňkami.

Po **expozici nádorovým promotorem** nebo promočními podmínkami (buněčná smrt nebo odstranění buněk) suprimující účinek okolních buněk prostřednictvím kontaktní inhibice mizí.

Homeostáza ve tkáních

je udržována

integrovaným systémem komunikačních mechanismů (mimo-, vnitro- a mezibuněčných)

a reguluje chování buněk především s ohledem na schopnost proliferace, diferenciaci, adaptivní odpovědi a apoptózy.

Iniciované preneoplastické buňky jsou udržovány v latentním stavu v důsledku působení těchto "přirozených" regulačních mechanismů.

V podpůrné (promoční) fázi rozvoje nádorů se uplatňují

látky **působící negenotoxickými (nebo epigenetickými) mechanismy, tzv. nádorové promotory**, které způsobují změny chování buněk v důsledku deregulace zmíněných procesů.

Zásahy, které vedou ke změnám v expresi genů a k poruchám homeostázy se odehrávají v buňce na různých úrovních a různými mechanismy.

Hlavní mechanismy charakterizující negenotoxickou karcinogenezi

- ovlivnění mechanismů signálové transdukce
 - aktivace specifických receptorů
 - produkce reaktivních kyslíkových radikálů (ROS, RNS)
 - změny GJIC
 - změny v metylaci DNA nebo v acetylaci histonů
 - ovlivnění exprese onkogenů, nádorově supresorových genů a genů buněčného cyklu
-
- změny buněčného cyklu
 - změny proliferace (regenerativní nebo mitogenní)
 - změny v apoptóze
 - změny v rovnováze vyúsťující ve změnu obratu buněk ve tkáni

CYTOKINY

Důležité endogenní faktory ovlivňující kolorektální karcinogenezi

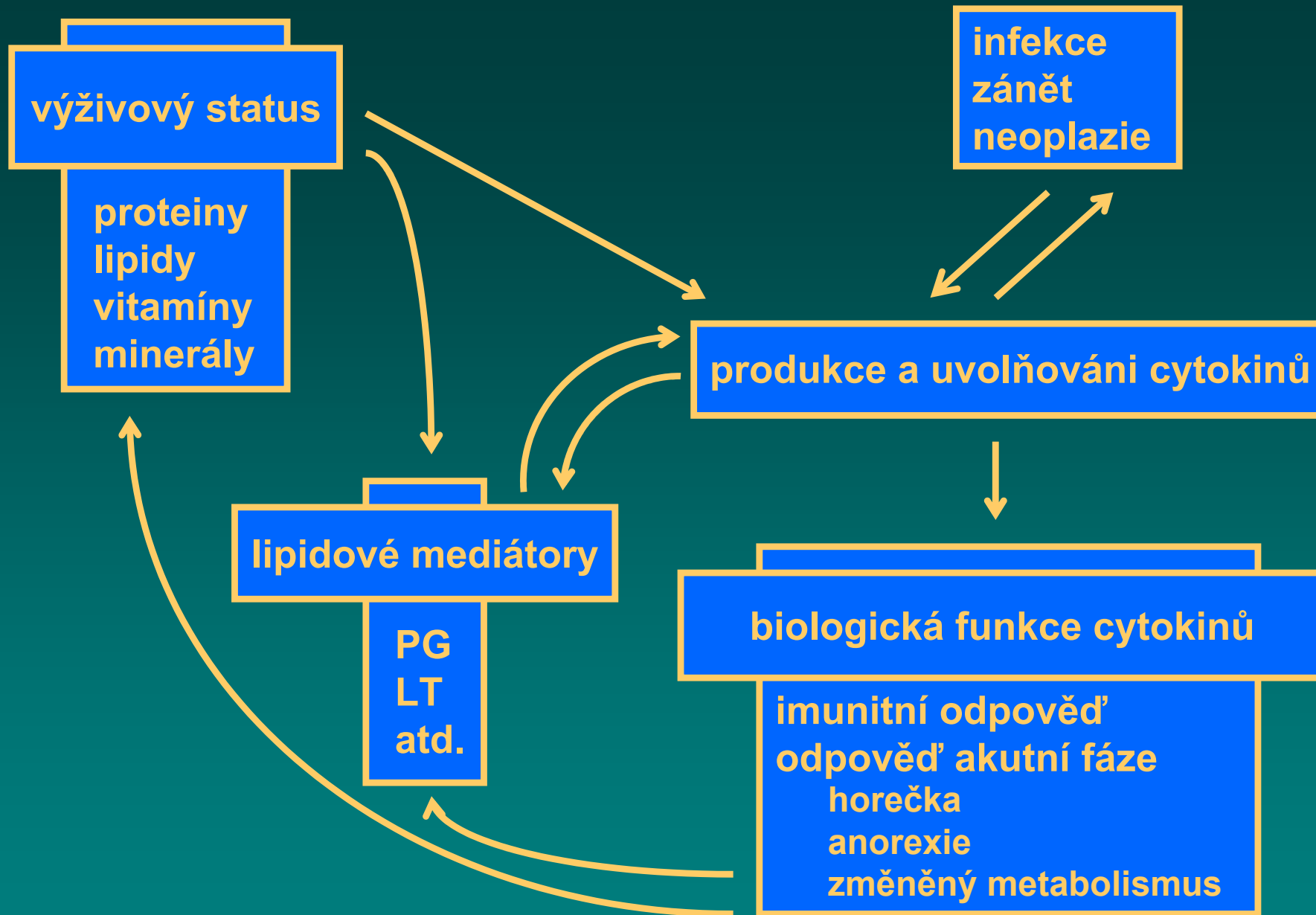
TNF-family (TNF- α , Fas ligand, TRAIL – TNF relating apoptosis inducing factor)

TGF-family (TGF- β)

EGF – epidermální růstový faktor

Tumour necrosis factor-alpha (TNF- α), interleukiny

- ▶ multifunkční cytokin
- ▶ jeden z hlavních mediátorů zánětu
- ▶ TNF- α je produkován makrofágy a dalšími buňkami imunitního systému
- ▶ koncentrace TNF- α v kolonu je zvýšena během chronického zánětu (ulcerativní kolitida nebo Crohnova choroba)
- ▶ úloha v nádorové kachexii
- ▶ existuje interakce mezi cytokiny a dietetickými faktory – mastné kyseliny a eikosanoidy



Vzájemné vztahy mezi výživou a infekčními a zánětlivými chorobami zprostředkovanými cytokiny

EXPERIMENTÁLNÍ CÍLE v Laboratoři cytokinetiky

- ◆ **ÚČINKY VNMK** kys. arachidonová, AA, 20:4, n-6
kys. dokosaheptaenová, DHA, 22:6, n-3

BUTYRÁTU (NaBt)

samostatně nebo v kombinaci na cytokinetiku epitelálních buněk kolonu a detailnější poznání mechanismů účastnících se těchto procesů

- ◆ **INTERAKCE MASTNÝCH KYSELIN** (a jejich metabolismu) s **ENDOGENNÍMI INDUKTORY APOPTÓZY** (TNF α , Fas, TRAIL) a jejich vlivu na epitelální buňky kolonu - mechanismy

- změny buněčných lipidů v souvislosti s modulací cytokinetiky
- srovnání odpovědi nádorových a „normálních“ buněk kolonu

VÝSTUPY

➤ Základní výzkum

➤ Klinika a výrobní praxe

- protinádorová prevence a terapie
- oblast nutriční farmakologie

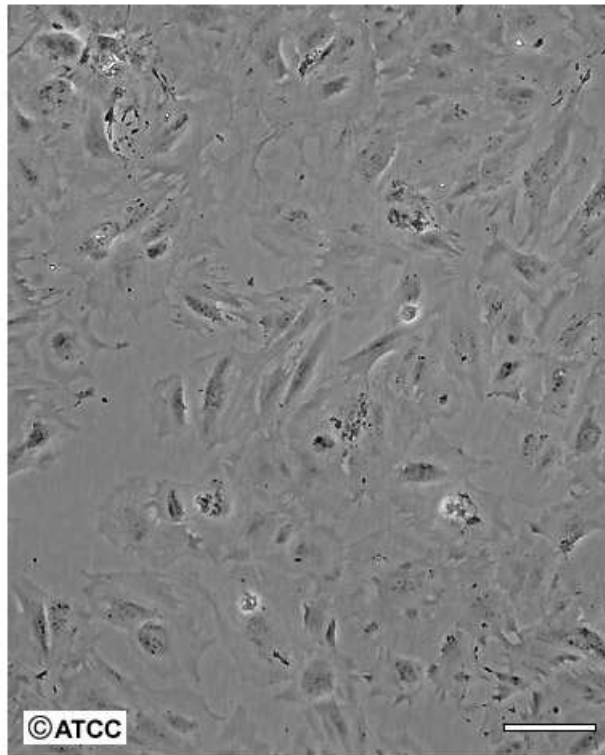
optimalizace lipidových výživ pro určité diagnózy („disease specific nutrition“), zejména u pacientů s nádorovým onemocněním

(Projekt cíleného výzkumu AV ČR – „Tukové složky výživy...“)

Linie lidských epiteliálních buněk kolonu

FHC

normální
fetální střevo



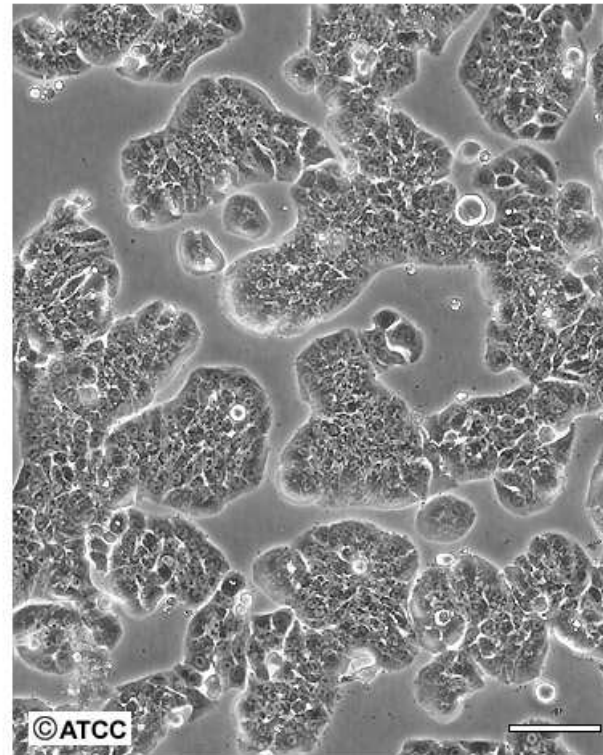
©ATCC

High Density

Scale Bar = 100µm

HT-29

diferencující
neinvazivní



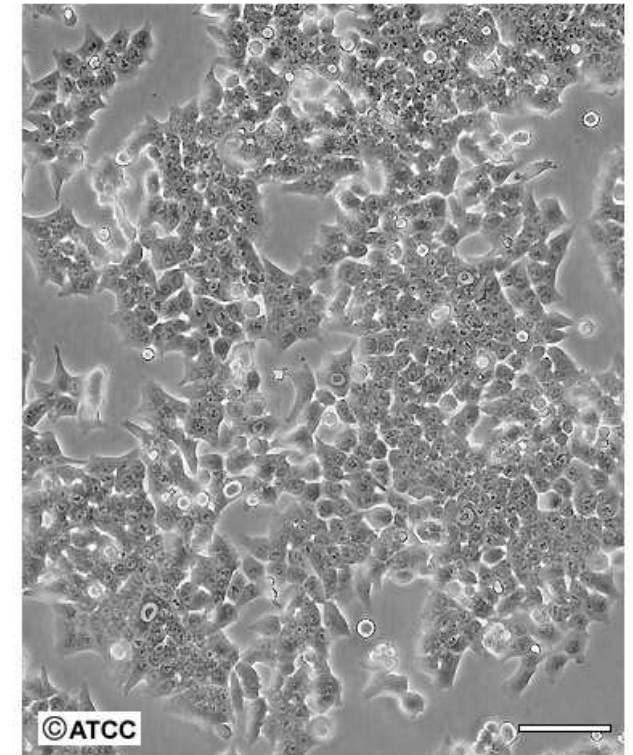
©ATCC

High Density

Scale Bar = 100µm

HCT-116

nediferencující
invazivní



©ATCC

High Density

Scale Bar = 100µm

Adenokarcinom kolonu

CaCo-2

SW 620 – lymf. uzlina

METODOLOGIE



CYTOKINETIKA

Detekce proliferace- regulace buněčného cyklu a zapojených proteinů,

diferenciace -buněčná morfologie, aktivita specifických enzymů, exprese specifických proteinů

apoptózy -detekce charakteristických změn na úrovni jádra, mitochondrií, membrán, cytoskeletu, exprese regulačních proteinů, štěpení specifických enzymů a substrátů

ZMĚNY LIPIDOVÉHO METABOLISMU A VLASTNOSTÍ BUNĚČNÝCH MEMBRÁN

-změny spektra MK v bun. lipidech, „lipid packing“ v membránách, akumulace triglyceridů, detekce kardiolipinu, membránový potenciál

ZMĚNY OXIDATIVNÍHO METABOLISMU

- produkce reaktivních metabolitů kyslíku (ROS) a dusíku, lipidová peroxidace, účinky antioxidantů

Využití moderních metod průtokové cytometrie, fluorescenční mikroskopie, fluorimetrie, spektroskopie, metod molekulární biologie...

Vaculová Alena, Hofmanová Jiřina, Souček Karel, Horváth Viktor, Kozubík Alois
Laboratoř cytokinety, Biofyzikální ústav Akademie věd ČR, Královopolská 135, 612 65 Brno;
e-mail: vaculova@ibp.cz

ÚVOD

Apoptóza, geneticky kontrolovaný proces buněčné smrti, je charakterizována specifickými morfoloogickými a biochemickými znaky. Mezi ně patří bobtnání cytoplazmatické membrány, ztráta buněčné adheze, reorganizace cytoskeletu, kondenzace a fragmentace jaderného chromatinu a tvorba tzv. apoptotických tělíček. Zároveň dochází k aktivaci kaspáz, změnám mitochondriálního membránového potenciálu, změnám v symetrii rozložení lipidů v membránách a aktivaci endonukleáz, která je doprovázena internukleozomální fragmentací DNA.

TRAIL je ligand z rodiny TNF (tumor necrosis factor), který indukce apoptózu u celé řady nádorových buněk, zatímco většina normálních buněk je k jeho účinkům rezistentní. V současné době je intenzivně studována možnost využití TRAILu v protinádorové terapii. Úspěšnému využití TRAILu v klinické praxi musí předcházet detailní studium jeho signální dráhy.

TRAIL indukce apoptózu po vazbě na tzv. „death receptory“ DR4 (TRAIL-R1) a DR5 (TRAIL-R2). Na úrovni receptoru dochází k tvorbě signálního komplexu zvaného DISC a k aktivaci iniciální kaspázy-8. Aktivovaná kaspáza 8 může dále přenášet apoptotický signál dvěma cestami. Dochází jednak k přímé aktivaci kaspázy-3, jednak ke štěpení proteinu Bid, který přenáší signál do mitochondrií. V regulaci průběhu tzv. mitochondriální dráhy indukce se významně uplatňují proteiny rodiny Bcl-2, reaktivní metabolity kyslíku, změny mitochondriálního membránového potenciálu a vyžití pro-apoptických proteinů do cytoplazmy. Následuje aktivace iniciální kaspázy-9, která dále aktivuje kaspázu-3. Tato elektorová kaspáza se pak podílí na štěpení celé řady tzv. „death substrátů“ jako jsou např. poly(ADP-ribose) polymeráza (PARP) nebo cytokeratin 18 (CK18).

V naší práci jsme se zaměřili na studium signální dráhy a změn v průběhu apoptózy indukované TRAILem u modelové buněčné linie lidského adenokarcinomu kolonu HT-29. Při studiu jsme využili řadu metod průtokové cytometrie, fluorescenční mikroskopie, fluorimetrie a western blottingu s následnou imunodelekcí. Získané výsledky, jejich srovnání a interpretace jsou obsahem tohoto sdělení.

CÍLE PRÁCE

- popis signální dráhy TRAILu u lidských nádorových buněk kolonu HT-29
- detekce charakteristických parametrů apoptózy nádorových buněk kolonu HT-29 s využitím několika moderních metod průtokové cytometrie a srovnání dosažených výsledků
- interpretace těchto výsledků s ohledem na další výsledky získané pomocí metod fluorescenční mikroskopie, fluorimetrie a western blottingu s následnou imunodelekcí

ZÁVĚRY

Detekce apoptózy indukované TRAILem u buněk linie HT-29 - srovnání vybraných metod

Po působení TRAILu docházelo k významným změnám na úrovni cytoskeletu a plazmatické membrány buněk HT-29

- v důsledku aktivace kaspáz (potvrzeno pomocí detekce aktivity kaspáz a štěpení prokaspáz) docházelo ke specifickému štěpení CK18 u 25,7% buněk
- u stejného počtu buněk (26,3%) byla detekována translokace PS v cytoplazmatické membráně

Velmi dobrá korelace výsledků použitých metod byla také zaznamenána na úrovni mitochondrií

- TRAIL indukoval významný pokles MMP u 14,6% buněk
- jako pozitivní s ohledem na expresi proteinu Apo2.7 bylo detekováno 17,1% buněk

Během apoptózy buněk HT-29 byla pozorována kondenzace a fragmentace jaderného chromatinu u 15% buněk (fluorescenční mikroskop). Někdy však detekováno internukleozomální štěpení DNA (TUNEL, agarozová gelová elektorforza). Předpokládáme proto, že u buněk této linie probíhalo štěpení DNA pouze na malý počet fragmentů o vysoké molekulové hmotnosti, pro jejichž detekci pravděpodobně nebyla metoda TUNEL dostatečně citlivá.

USPOŘÁDÁNÍ EXPERIMENTŮ

Buněk HT-29 byly vyřazeny v McCoyvě médii s 5% séra a kultivovány při standardních podmínkách. 24 hodin po vstupu byly buňky ovlivněny přidáním TRAILu (100 ng/ml, lidský rekombinanti His-TRAIL) na dobu 1 hodiny. Následovalo hodnocení charakteristických parametrů apoptózy, především pomocí několika různých metod průtokové cytometrie (FACSCalibur, Boston Dickinson). Získané výsledky byly dále doplněny pomocí metod fluorimetrie (Fluostar Galaxy), fluorescenční mikroskopie (Olympus IX70) a metody western blottingu s následnou imunodelekcí. Výšena data vždy 3 nezávislá opakování) byla statisticky vyhodnocena (ANOVA, Tukey test, p < 0,05, *) značí výsledek významný ve srovnání s neovlivněnou kontrolou.

SHRNUTÍ

Bylo provedeno srovnání výsledků získaných pomocí metod průtokové cytometrie a fluorescenční mikroskopie. Hodnoty v tabulce představují výsledky (průměry ze tří nezávislých opakování) hodnocení vybraných parametrů apoptózy - štěpení CK18, translokace PS, exprese proteinu Apo2.7, pokles MMP, změny na úrovni jádra detekované pomocí metody TUNEL (průtoková cytometrie) a na základě hodnocení jaderné morfologie (fluorescenční mikroskopie)

	cytoskelet a plazmatická membrána	mitochondrie	jádro
% buněk	CK18 PS	Apo2.7 MMP	DAPI TUNEL
kontrola	1,7 8,0	1,8 2,4	2,9 0,2
TRAIL	26,7 26,3	17,1 14,6	16,0 0,3

Detekce apoptózy různými metodami

Průtoková cytometrie

Fluorimetrie

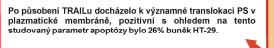
Fluorescenční mikroskopie

Western blotting

- změny v uspořádání membránových lipidů (AnnexinV)
- aktivita a štěpení kaspáz
- štěpení substrátů kaspáz (PARP, cytokeratin 18)
- exprese proteinů rodiny Bcl-2
- mitochondriální membránový potenciál
- kondenzace a fragmentace jaderného chromatinu

Translokace fosfatidylserinu (PS) Annexin-V-FITC/propidium jodid (průtokový cytometr)

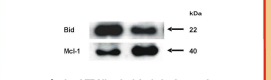
Během apoptózy dochází k přesunutí PS z vnější strany mitochondriální membrány na stranu vnější. Pro detekci externizovaného PS se používá annexin-V konjugovaný s FITC. Pro rozlišení populace apoptotických a nekrotických buněk se provádí současně barvení propidium jodidem (PI). Apoptotické buňky jsou pozitivní na annexin-V, avšak negativní na PI.



Po působení TRAILu docházelo k významné translokaci PS v plazmatické membráně, pozitivní s ohledem na tento studovaný parametr apoptózy bylo 26% buněk HT-29.

Proteiny rodiny Bcl-2 - Mcl-1, Bcl-2, Bid, Bax, Bak (western blotting, imunodelekc)

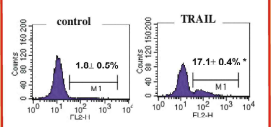
Proteiny rodiny Bcl-2 s antiapoptotickou (Bcl-2, Mcl-1) i proapoptotickou (Bid, Bax, Bak) funkcí se významně uplatňují v regulaci apoptózy indukované TRAILem u celé řady buněk na úrovni mitochondrií. Studovali jsme množství uvedených proteinů v buněk pomocí elektorforzy, westernového přenosu a následné imunodelekc s využitím specifických protilátek.



- po působení TRAILu docházelo k významnému štěpení proteinu Bid
- TRAIL indukoval významný nárůst množství proteinu Mcl-1 v buněk
- po působení TRAILu se významně neměnilo množství proteinů Bax a Bak
- v buněk linie HT-29 se nevyskytuje protein Bcl-2

Mitochondriální protein Apo2.7 (průtokový cytometr)

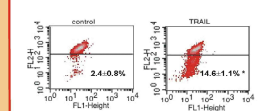
Apo2.7 (A6 antigen) je protein o velikosti 38 kDa, nacházející se v membráně mitochondrií. Jeho exprese je charakteristická pro buňky podléhající apoptóze. V nepřítomnosti apoptotického stimulu není tento protein v buňce detekován. Detekce proteinu Apo2.7 se provádí pomocí specifické protilátky Apo2.7-FITC, po předběžné permealizaci buněk digitoninem.



Po působení TRAILu docházelo k významnému nárůstu exprese proteinu Apo2.7 u 17,1% buněk HT-29.

Mitochondriální membránový potenciál (MMP) TMRE (průtokový cytometr)

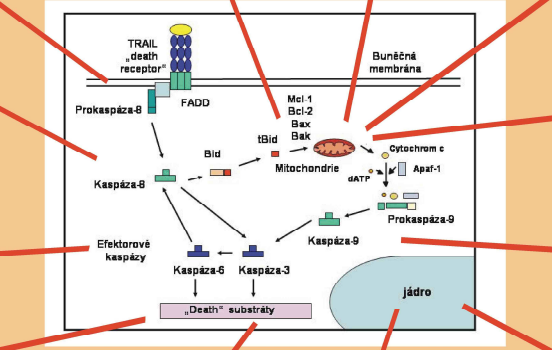
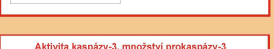
Zrátá MMP se hodnotí jako nepřímý důkaz otevření megaróru a zvýšení permeability vnější mitochondriální membrány, které jsou jedním z prvních molekulárních událostí z těchto organel. Při analýze MMP se používá fluorescenční lipofilní kation TMRE (tetramethylrhodamin ethyl ester), který se hromadí v mitochondriích z důvodu své MMP. S využitím průtokové cytometrie lze detekovat posun ve fluorescenci TMRE, podávající informaci o změnách MMP.



TRAIL indukoval významný pokles MMP u buněk HT-29; bylo detekováno 14,6% buněk se sníženým MMP.

Aktivita kaspázy-8, štěpení prokaspázy-8 (fluorimetrická detekce, western blotting)

TRAIL indukoval štěpení prokaspázy-8, spojené se zvýšením exprese 17 kDa fragmentu o velikosti 41 kDa. Současně jsme detekovali významné posílení aktivity této iniciální kaspázy u buněk HT-29.



Produkce ROS (DHR-123, průtokový cytometr)

Reaktivní metabolity kyslíku (ROS) mohou hrát významnou úlohu v indukcí apoptózy. Pro měření produkce ROS jsme využili dihydroethodim-123 (DHR-123). Ve studovaném časovém interálu jsme však nepozorovali změny v produkci ROS po působení TRAILu u buněk HT-29.



Aktivita kaspázy-3, množství prokaspázy-3 (fluorimetrická detekce, western blotting)

TRAIL indukoval významné štěpení prokaspázy-3, spojené se zvýšením aktivity kaspázy-3 u buněk HT-29.



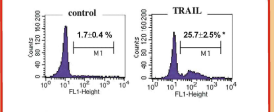
Aktivita kaspázy-9, množství prokaspázy-9 (fluorimetrická detekce, western blotting)

TRAIL indukoval významné štěpení prokaspázy-9, spojené se zvýšením aktivity kaspázy-9 u buněk HT-29.



Specifické štěpení cytokeratinu 18 (CK18) M30 cytoDEATH (průtokový cytometr)

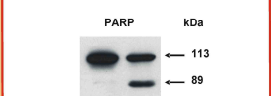
Efektorové kaspázy mohou štěpit řadu substrátů v buňce. Na úrovni cytoskeletu se jedná především o CK18. Pro specifické rozlišení buněk s štěpením CK18 je ochraben nový epitop, který se nachází výlučně u apoptotických buněk. Tento epitop lze detekovat pomocí specifické protilátky (M30 cytoDEATH), konjugované s FITC.



Po působení TRAILu docházelo k významnému specifickému štěpení CK18, pozitivní s ohledem na tento studovaný parametr apoptózy bylo 25,7% buněk HT-29.

Štěpení proteinu PARP (western blotting)

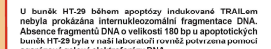
PARP je jaderný protein (113 kDa), který se podílí na opravě zlomené DNA. Během apoptózy dochází ke specifickému štěpení PARP na fragmenty o velikosti 89 a 25 kDa. Detekce těchto fragmentů je považována za citlivý marker charakterizující probíhající apoptózu.



TRAIL indukoval významné štěpení PARP u buněk linie HT-29.

Internukleozomální štěpení DNA (TUNEL, průtokový cytometr)

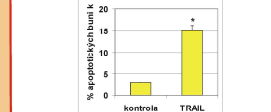
Aktivace endonukleáz a následné internukleozomální štěpení DNA patří mezi charakteristické znaky apoptózy. Vzniklé zlomy DNA lze identifikovat pomocí enzymatického značení jejich 3'OH konce nukleotidy konjugovanými s FITC. Velmi výhodné je současně obarvení DNA propidium jodidem. Takto lze sledovat, zda indukce fragmentace DNA je specifická pro určité fáze buněčného cyklu.



U buněk HT-29 během apoptózy indukované TRAILem nebyla prokázána internukleozomální fragmentace DNA. Absence fragmentů DNA o velikosti 180 bp u apoptotických buněk HT-29 byla v naší laboratoři rovněž potvrzena pomocí agarozové gelové elektorforzy DNA.

Jaderná morfologie (DAPI, fluorescenční mikroskopie)

Během apoptózy rovněž dochází k významným změnám morfologie jádra, které se projevují jako kondenzace a fragmentace jaderného chromatinu. S využitím fluorescenční mikroskopie jsme (po obarvení DAPI) hodnotili množství apoptotických buněk na základě uvedených změn.

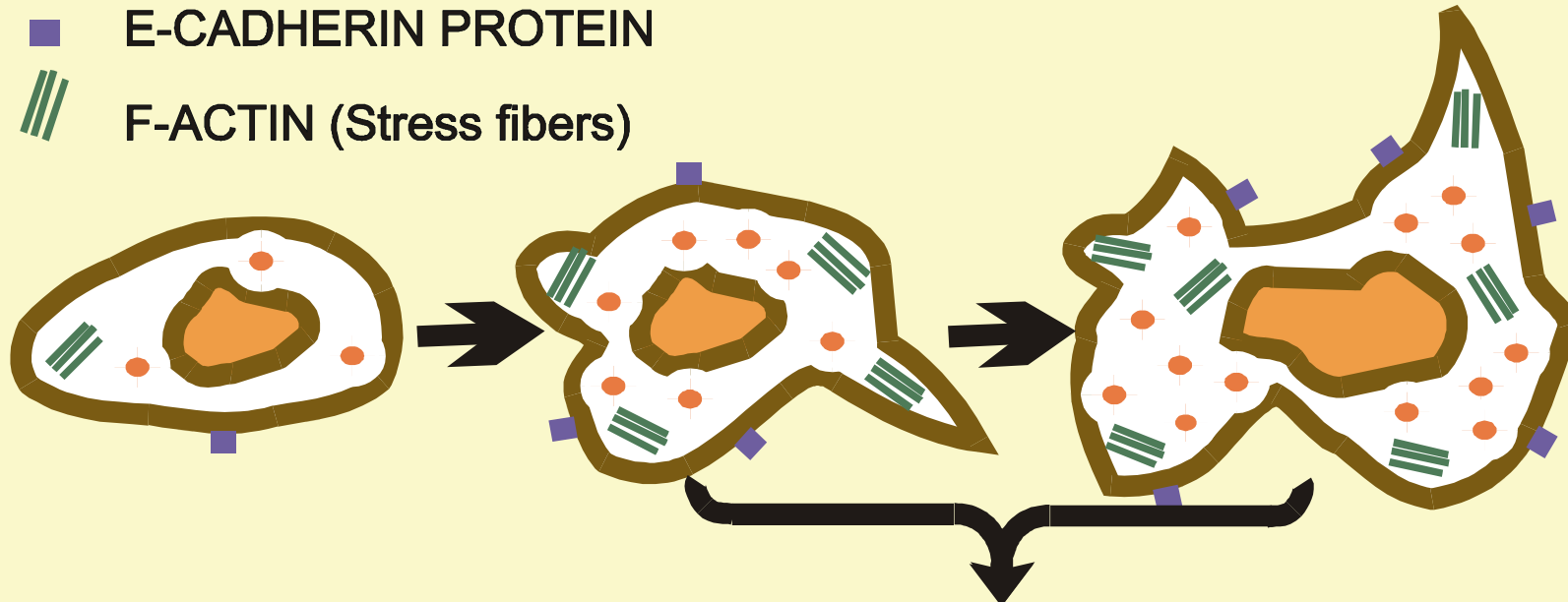


TRAIL indukoval významný nárůst (15%) počtu buněk s charakteristickou apoptotickou morfologií jádra.

Znaky diferenciace indukované butyrátem

- ALKALINE PHOSPHATASE
- E-CADHERIN PROTEIN
- ▨ F-ACTIN (Stress fibers)

EXPRESSE KARCINOEMBRYONÁLNÍHO ANTIGENU



Proliferated cell

Growth inhibition & arrest in G1-phase of the cell

TIME OF BUTYRATE TREATMENT

0mM

1mM

3mM

5mM

ÚČINKY VNMK

kys. arachidonová, AA, 20:4, n-6

kys. dokosaheptaenová, DHA, 22:6, n-3

BUTYRÁTU (NaBt)

samostatně nebo v kombinaci

VNMK (AA, DHA) zvýšily citlivost buněk HT-29 k apoptóze indukované NaBt

Eur J Nutr (2005) 44: 40–51
DOI 10.1007/s00394-004-0490-2

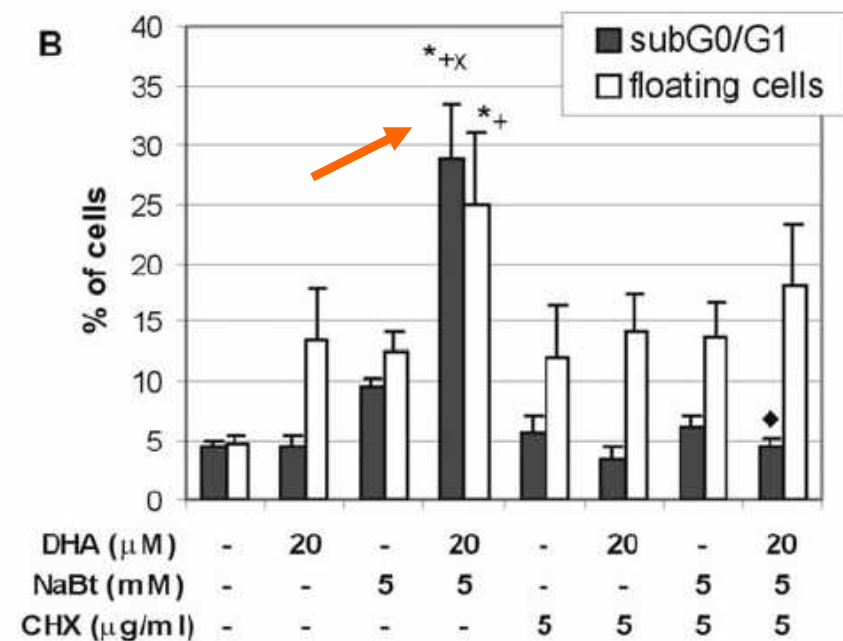
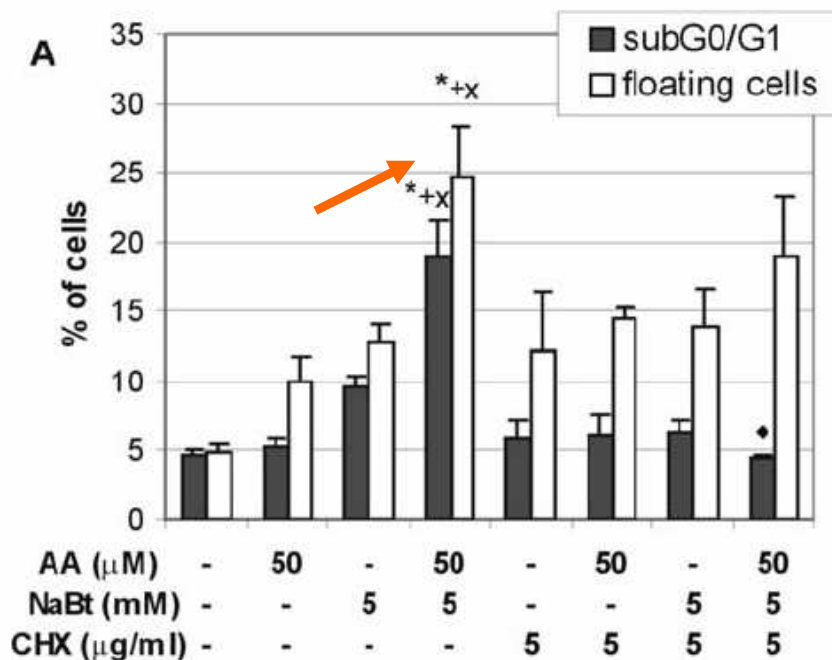
ORIGINAL CONTRIBUTION

Jiřina Hofmanová
Alena Vaculová
Antonín Lojek
Alois Kozubík

Interaction of polyunsaturated fatty acids and sodium butyrate during apoptosis in HT-29 human colon adenocarcinoma cells

J. Hofmanová et al.
Potentiation of apoptosis by fatty acids in colon cancer cells

45



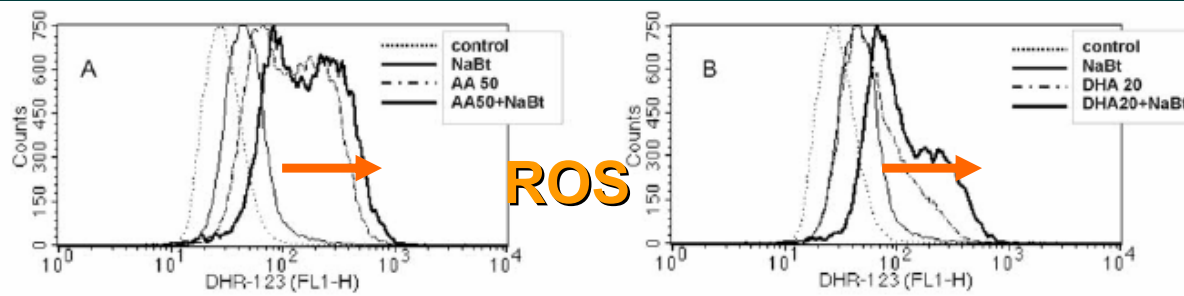


Fig. 5 Production of reactive oxygen species (ROS) in HT-29 cells non-pre-treated or pre-treated for 48 h with 50 μ M of arachidonic (AA 50; A) or 20 μ M of docosahexaenoic (DHA 20; B) acid and then incubated for 24 h in PUFA-free medium without or with 5 mM sodium butyrate (AA50-NaBt, DHA20-NaBt). ROS were measured by FCM as dihydrorhodamine 123 (DHR-123) fluorescence (FL1-H). The figure shows a representative result of three independent experiments

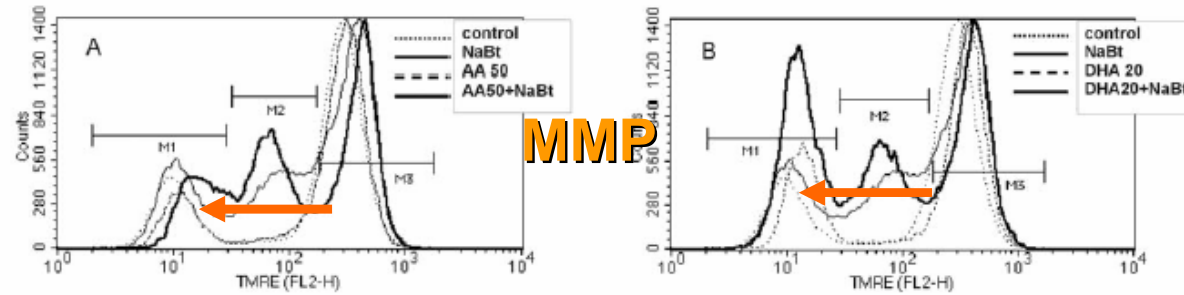
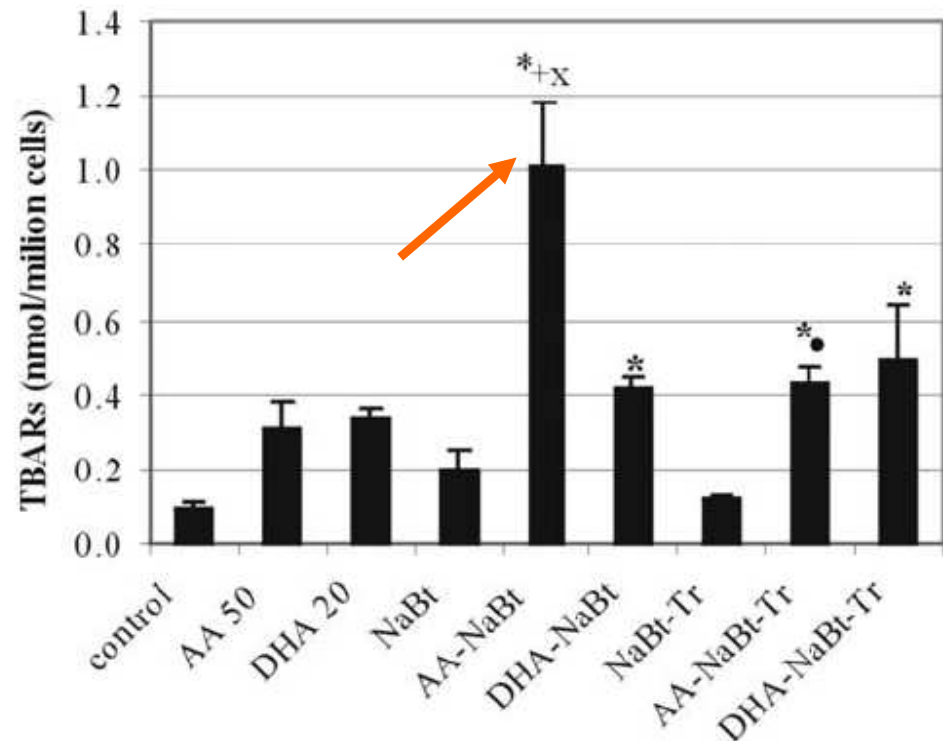


Fig. 6 Mitochondrial membrane potential (MMP) of HT-29 cells non-pre-treated or pre-treated for 48 h with 50 μ M of arachidonic (AA 50; DHA 20; B) acid and then incubated for 24 h in PUFA-free medium without or with 5 mM sodium butyrate (AA50-NaBt, DHA20-NaBt). MM methylrhodamine ethyl ester perchlorate (TMRE) fluorescence (FL2-H). M1 region of collapsed MMP, M2 region of dissipated MMP, M3 region shows a representative result of three independent experiments

Zvýšená produkce reaktivních kyslíkových radikálů (ROS)

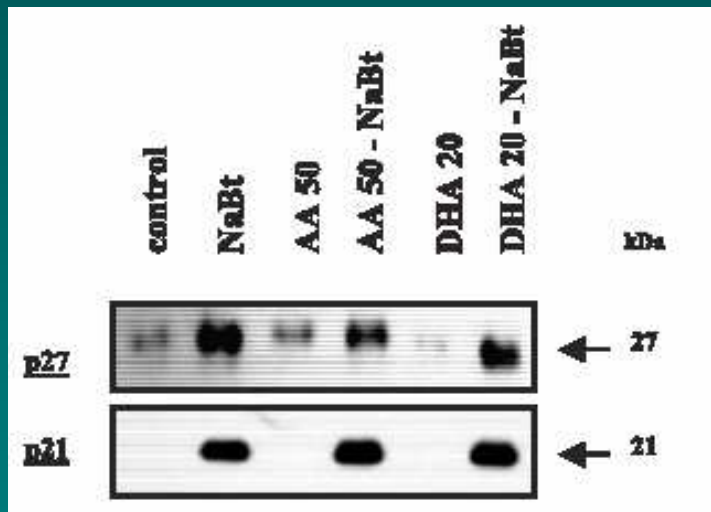
Snížený mitochondriální membránový potenciál (MMP)

Zvýšená lipidová peroxidace

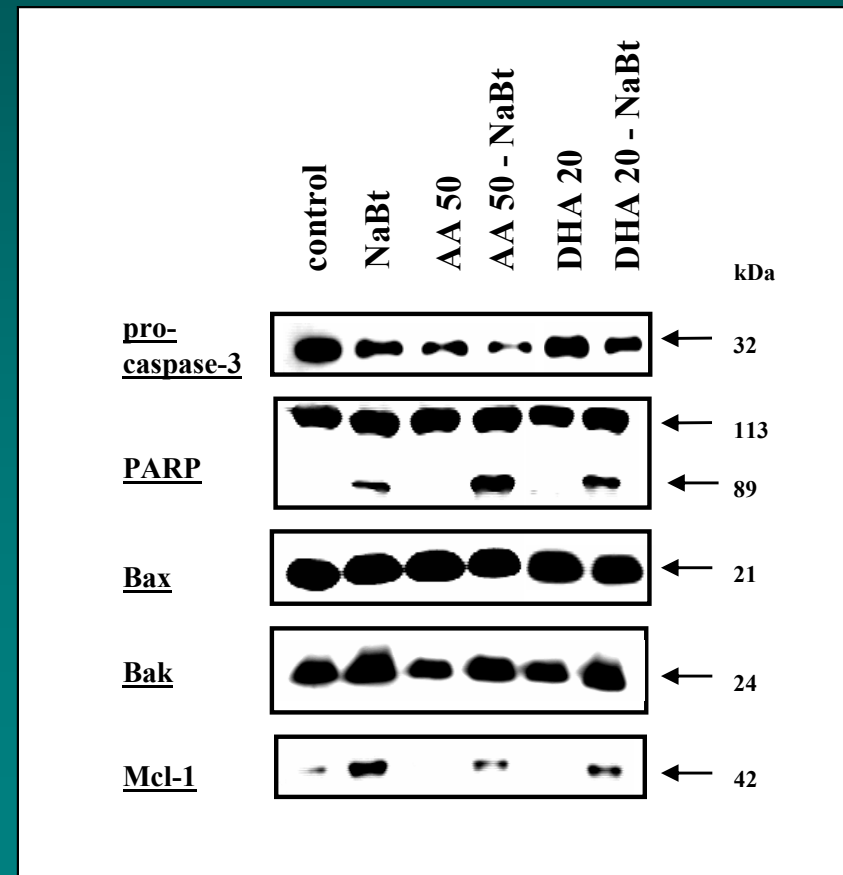


Molekulární determinanty účinků studovaných látek

Proteiny buněčného cyklu (p21, p27)



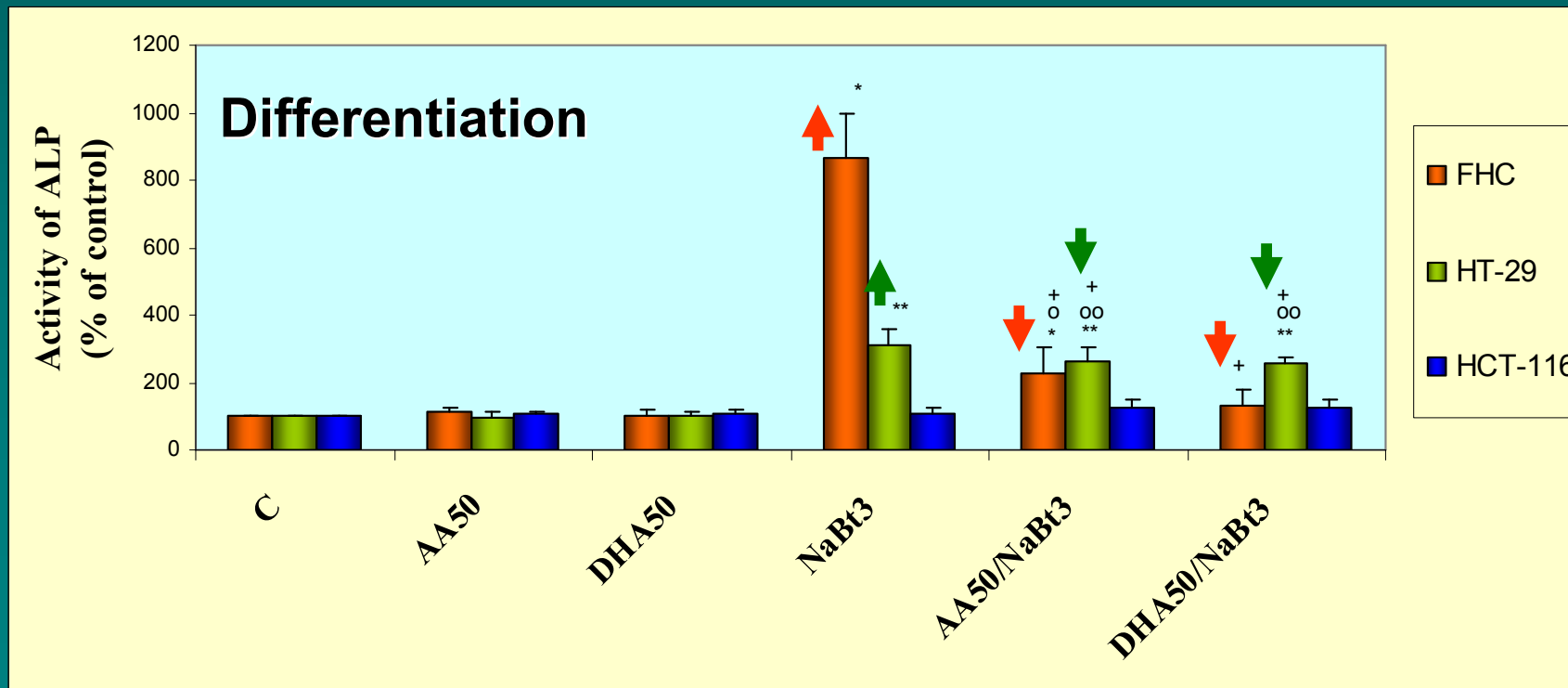
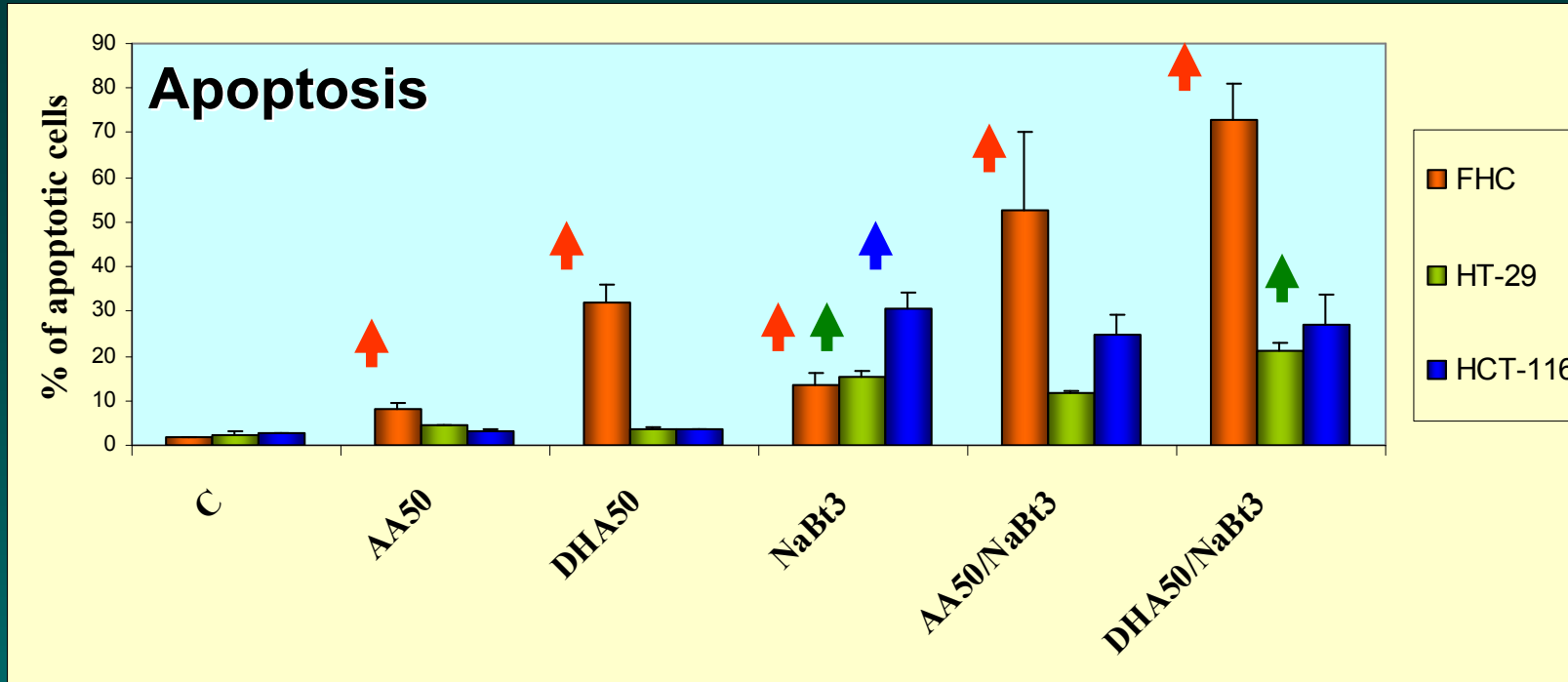
Apoptické proteiny



Srovnání odpovědi nenádorových a nádorových buněk k VNMK, NaBt a jejich kombinaci

- Odpověď střevních epiteliálních buněk na působení AA a DHA je významně vyšší u nenádorové linie FHC než u nádorových linií
- Butyrát indukuje diferenciaci anebo apoptózu střevních buněk v závislosti na stupni transformace
 - diferenciace FHC ► HT-29 ► HCT116 ► SW620
 - apoptóza SW620 ► HCT116 ► HT-29 ► FHC
- Tyto procesy mohou být modulovány spolupůsobením AA a zejména DHA.

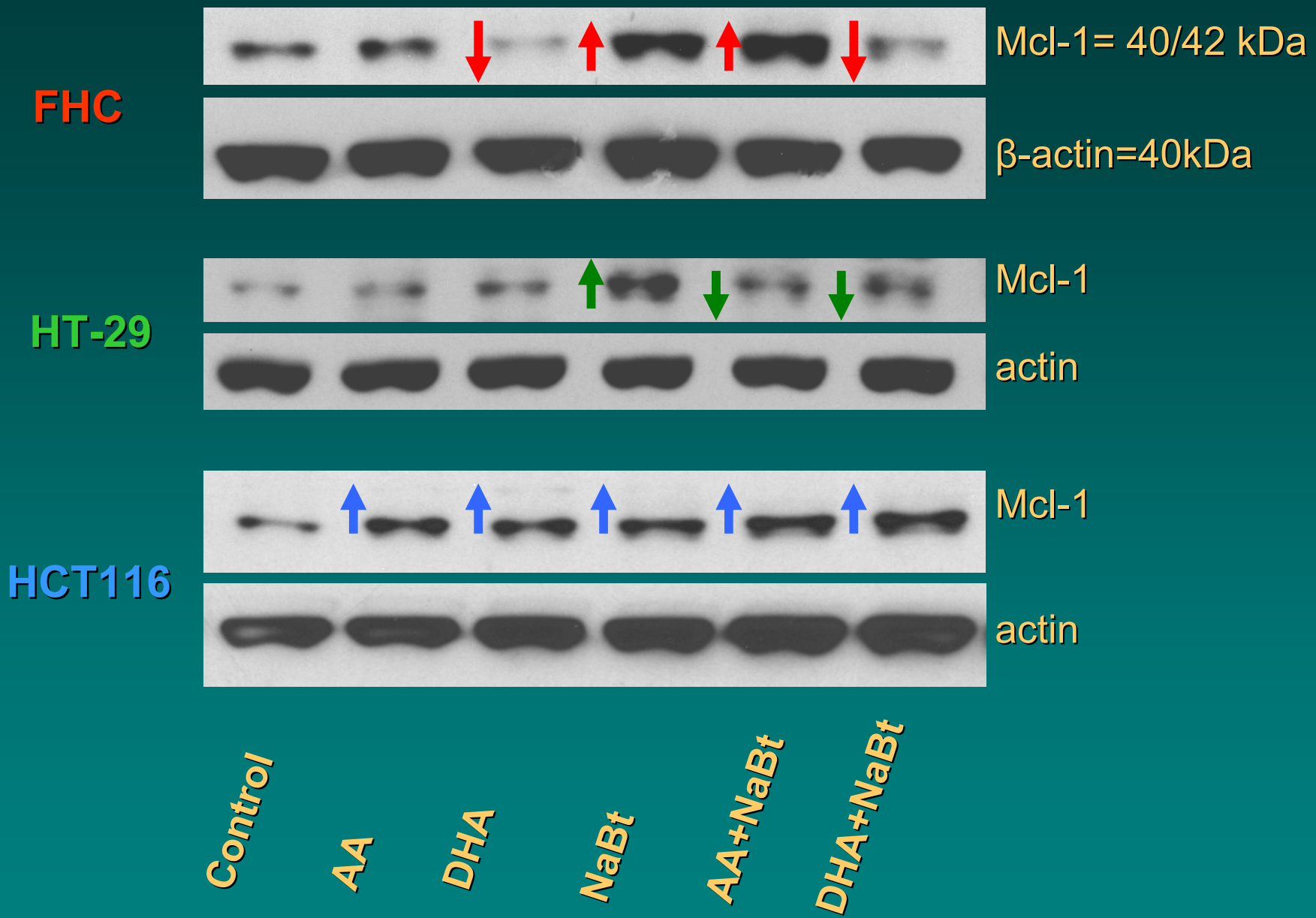
Srovnání odpovědi nenádorových a nádorových buněk



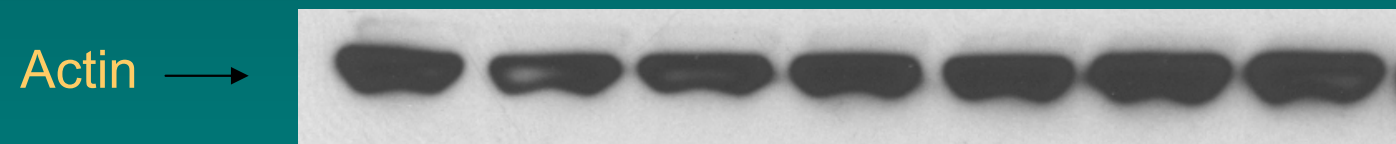
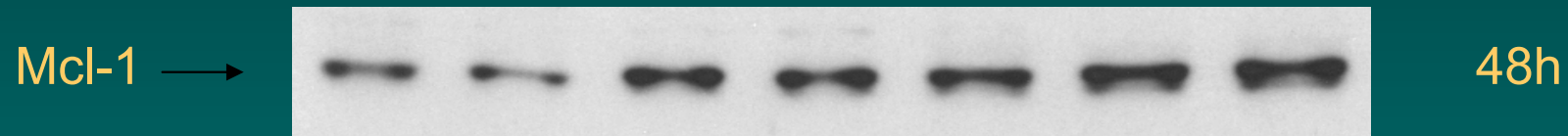
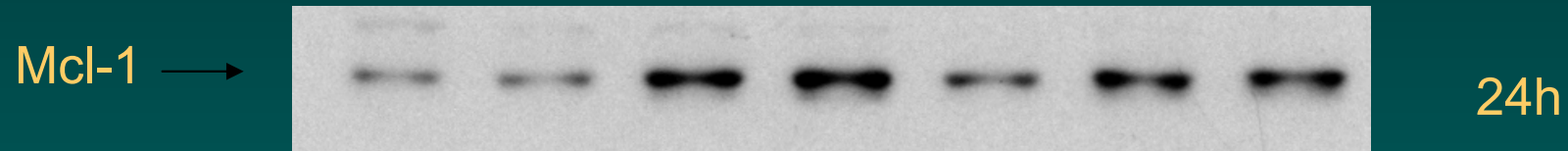
Mcl-1

- protein rodiny Bcl-2 podporující přežití buněk
lokalizovaný na chromozomu 1q21
krátký „half life“ , rychlá regulace
- hraje důležitou úlohu při rozhodování buněk mezi životem a smrtí v odpovědi na rychle se měnící prostředí
 - chrání buňky před apoptózou v průběhu diferenciac
 - exprese se snižuje při indukci apoptózy
- je štěpen kaspázami na molekulu podporující apoptózu
- zajímavý s hlediska protinádorové terapie

Expresse antiapoptického proteinu Mcl-1



Dynamic changes of Mcl-1 (HCT116 cells)



K *Ket* *AA50* *DHA50* *NaBt-3* *AA50/NaBt-3* *DHA50/NaBt-3*

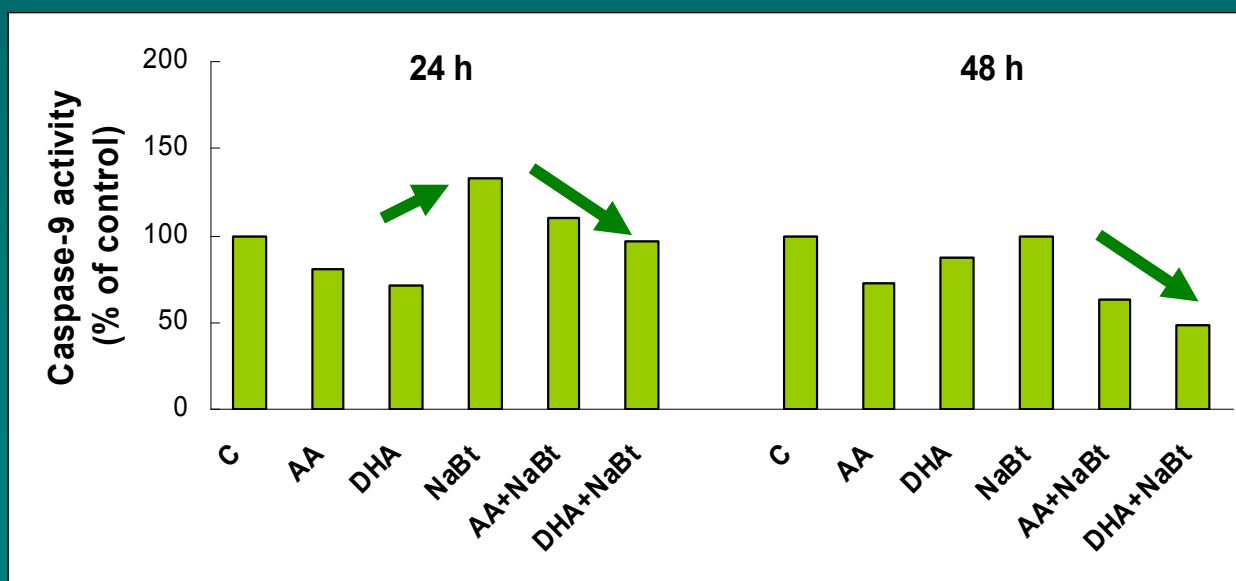
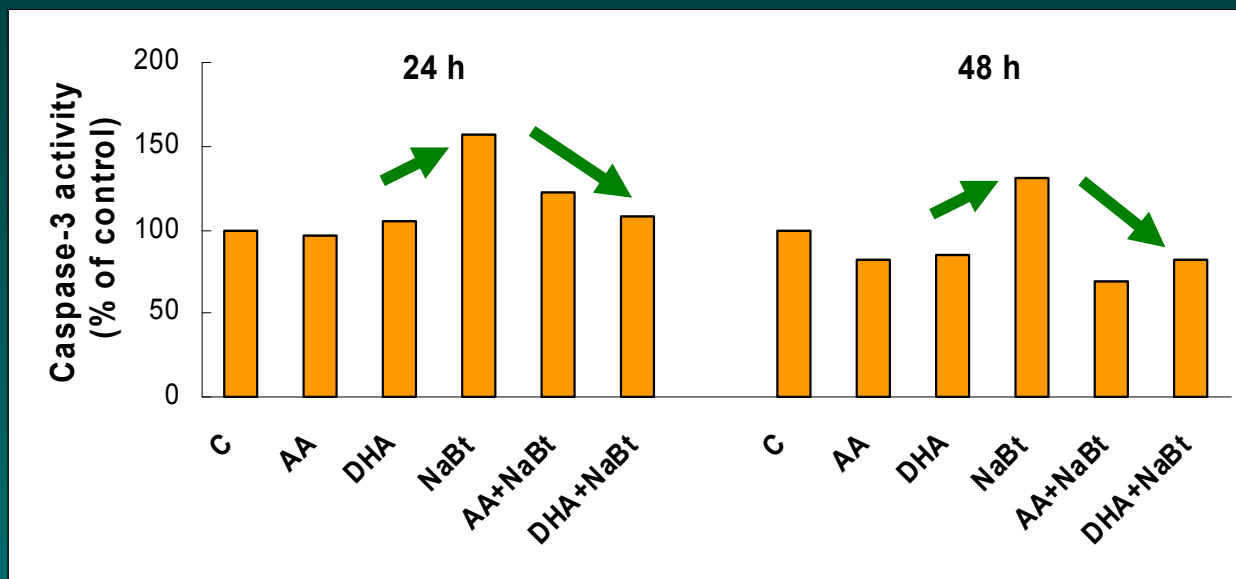
AA, DHA ↑

NaBt ↓

Mcl-1 = 40/42kDa
beta-actin = 40kDa

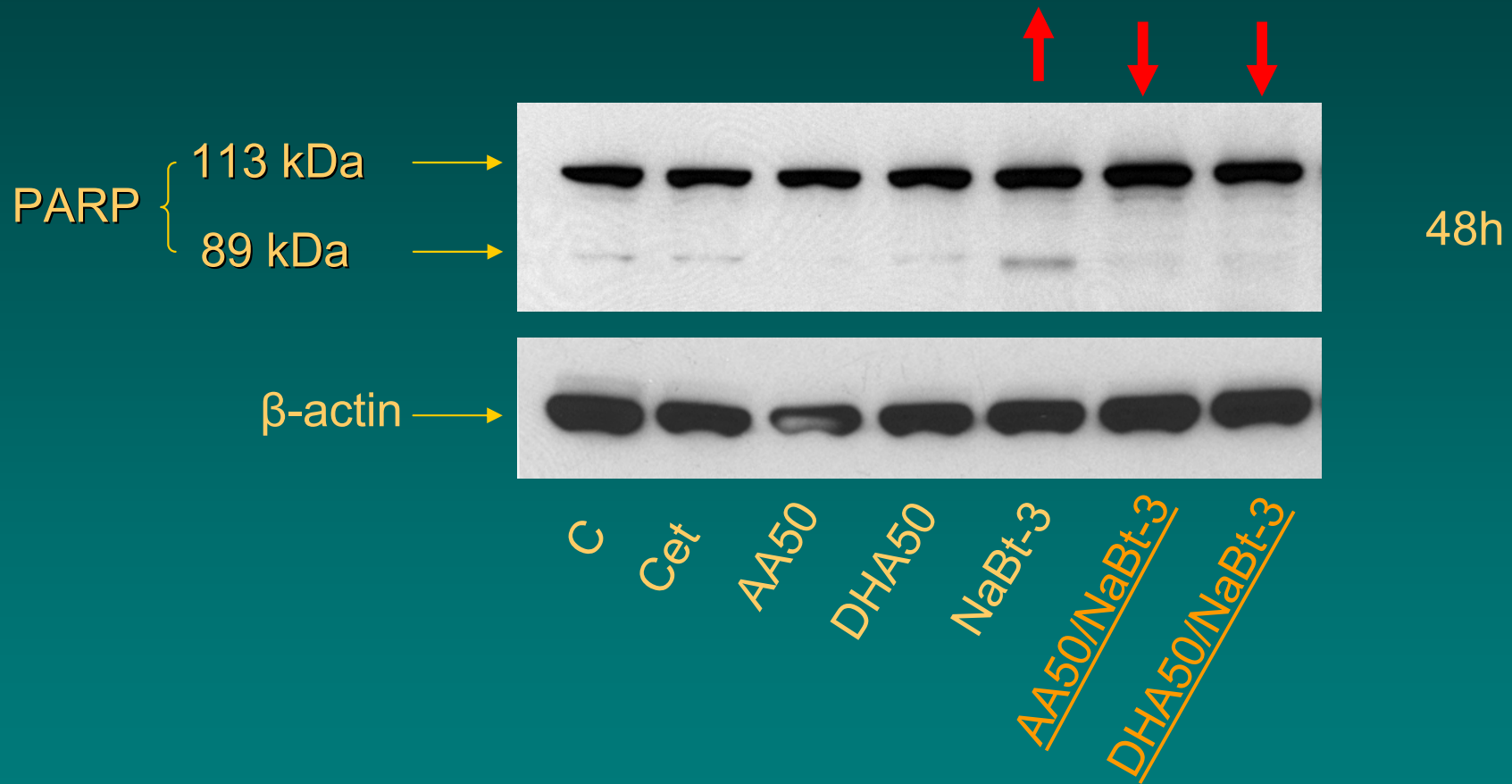
Aktivita kaspáz po působení AA, DHA, NaBt a jejich kombinace

HCT116



Intrinsic pathway

poly (ADP) ribose polymerase (PARP) cleavage



**ÚČINKY ENDOGENNÍCH INDUKTORŮ
APOPTÓZY
z rodiny cytokinů TNF
(tumor necrosis factor)**

Cytokiny rodiny TNF (tumor necrosis factor)

Ligand

TNF- α

Fas ligand (FasL)

TRAIL

(TNF-related apoptosis-inducing ligand)

Receptor

TNFR1, TNFR2

Fas (CD95, APO-1)

DR4, DR5, DcR1, DcR2

Výzkum zaměřen na

- ▶ úlohu v regulaci buněčné smrti epiteliálních střevních buněk a
- ▶ příčiny rezistence nádorových buněk

Aplikace v nádorové terapii

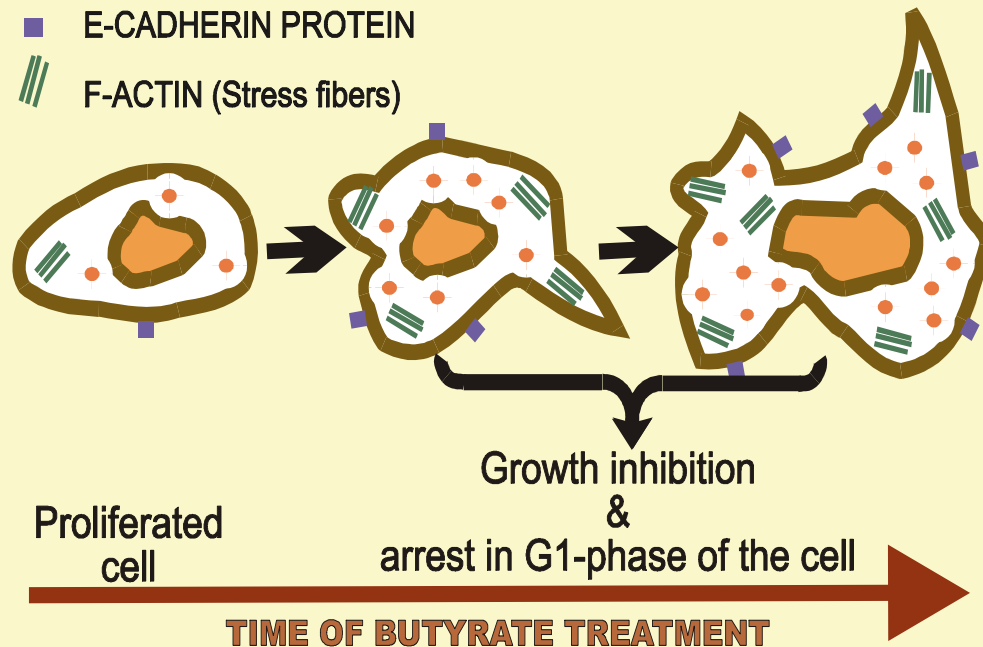
Zvýšení citlivosti buněk zásahy do signálních drah nebo kombinací s dalšími faktory

TNF α zvyšuje apoptózu buněk HT-29, ale potlačuje diferenciaci indukovanou NaBt u epiteliálních buněk tlustého střeva

- **Butyrát** vzniká ve střevě fermentací nestravitelné vlákniny
- Navozuje diferenciaci a následnou apoptózu epiteliálních buněk střeva

Znaky diferenciacce střevních buněk

- ALKALINE PHOSPHATASE
- E-CADHERIN PROTEIN
- /// F-ACTIN (Stress fibers)



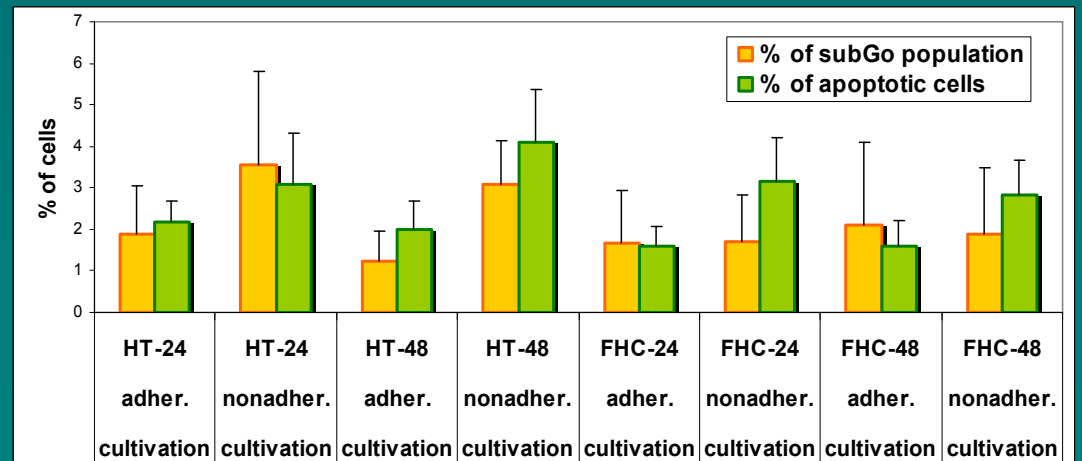
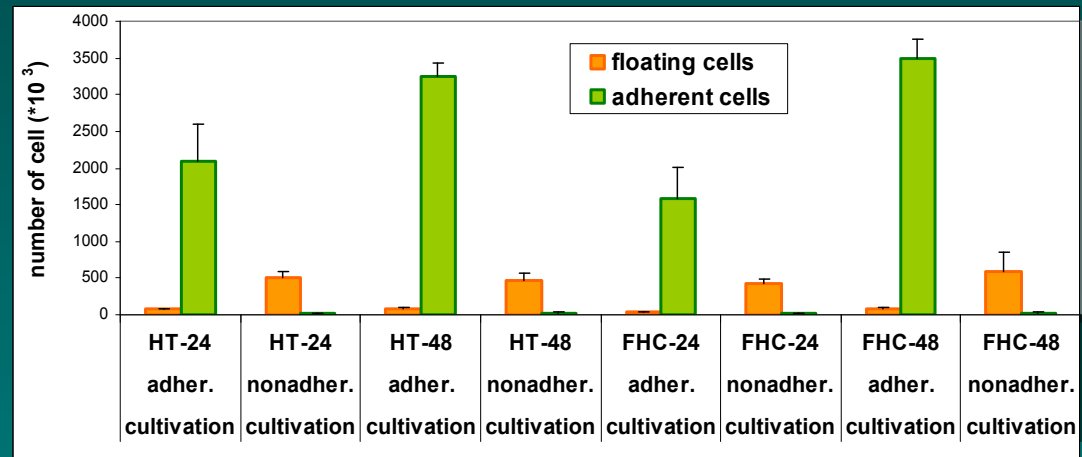
- **TNF- α** je v tlustém střevě dlouhodobě produkován během chronických zánětlivých onemocnění střeva (ulcerativní kolitida, Crohnova choroba apod.)
- Buňky nádorů tlustého střeva obsahují zvýšené množství TNF ve srovnání ze zdravou tkání

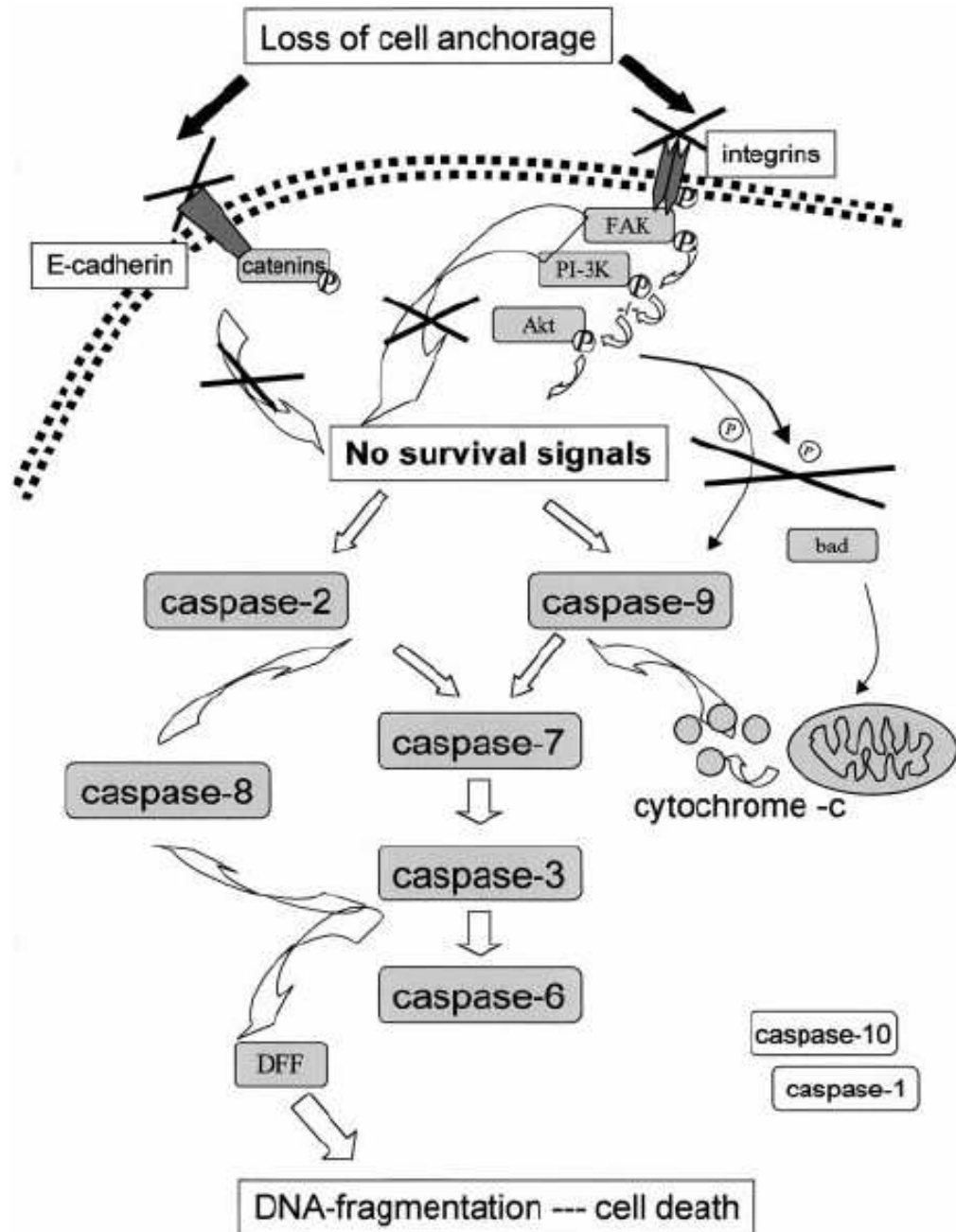
TNF- α posiluje apoptózu a potlačuje diferenciaci navozenou butyrátem u střevních nádorových buněčných linií HT-29 a CaCo-2 a u fetálních střevních buněk FHC

Indukce buněčné smrti a změny adhezivních vlastností epiteliálních buněk střeva během indukce anoikis

Pro indukci anoikis v podmínkách in vitro je používán model neadherentní kultivace buněk

- **Anoikis** představuje typ buněčné smrti, kterou umírají epiteliální buňky pokud dojde k narušení jejich kontaktu s extracelulární matrix.
- V tlustém střevě je anoikis navozena po uvolnění buněk v horních částech krypt, a funguje zde jako jeden z faktorů pro udržení rovnováhy mezi cytokinetickými procesy.
- Vznik rezistence buněk k anoikis představuje jeden z kritických momentů v karcinogenezi tlustého střeva.



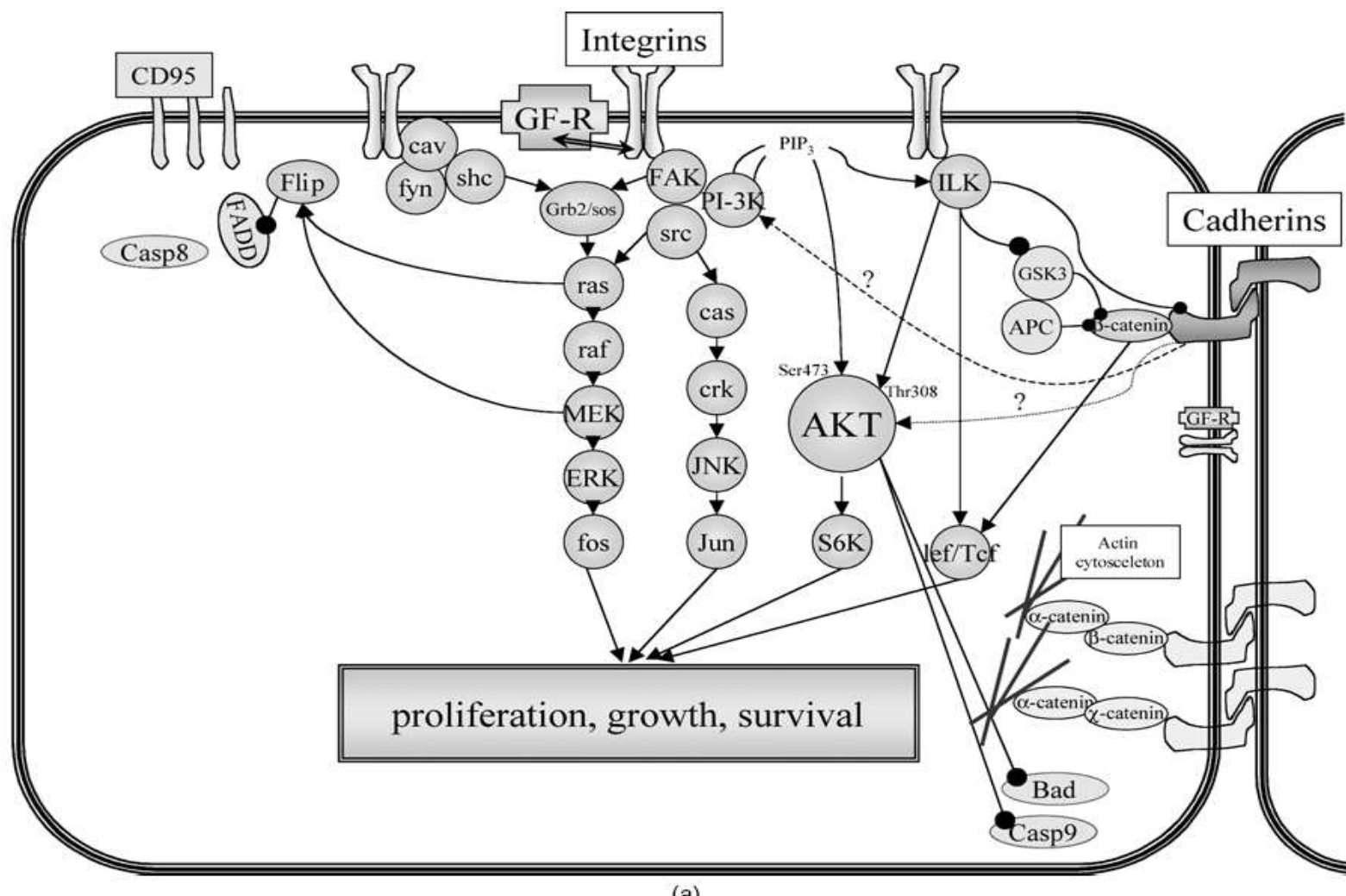


Signal transduction pathways associated with ANOIKIS

„Survival signalling pathways“ aktivované při kontaktu buňka-buňka a buňka - ECM

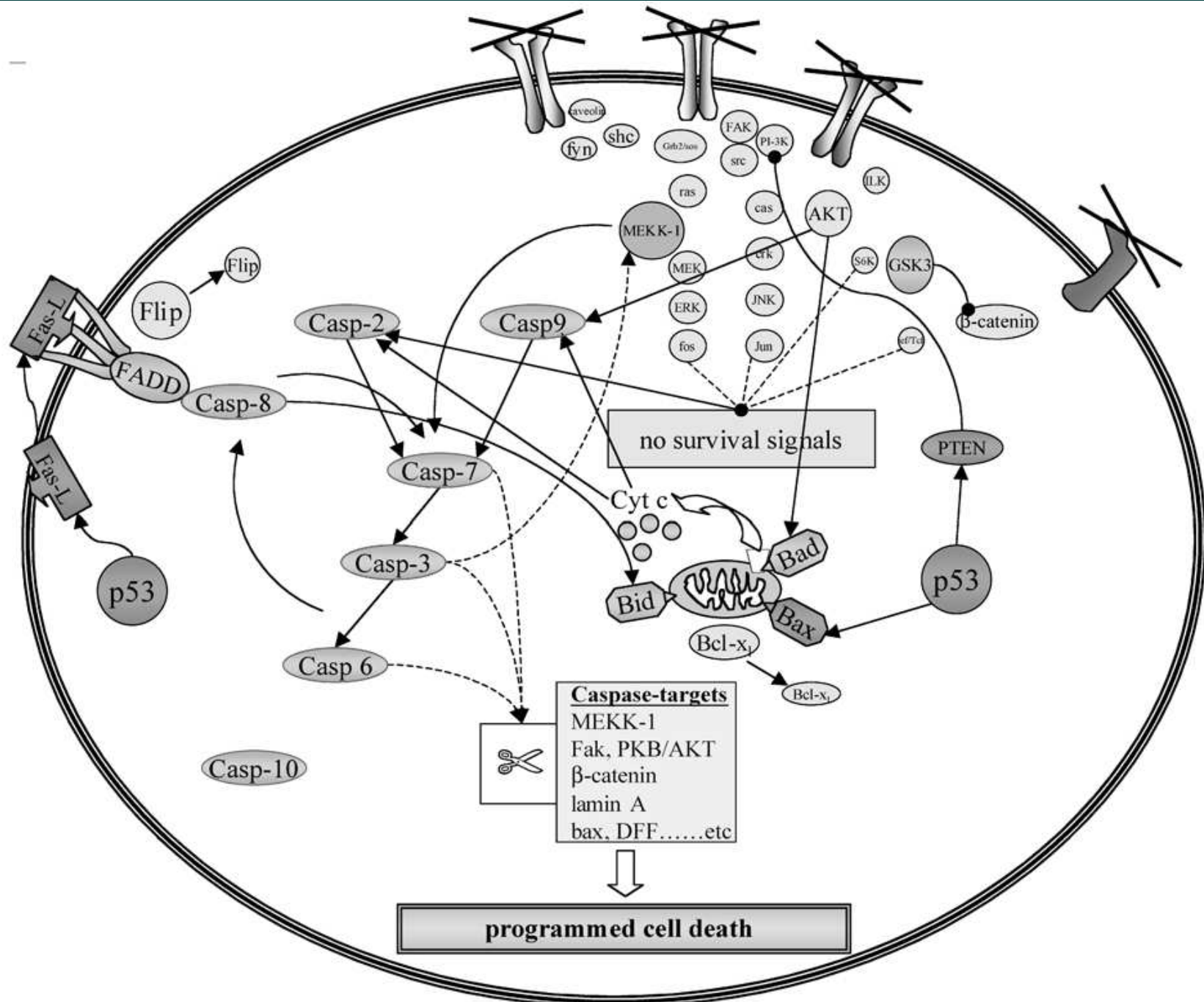
Figure 1. (a) Survival signaling pathways activated by cell-cell and cell-matrix anchorage. [Focal Adhesion-Kinase (FAK), Integrin-linked Kinase (ILK), caveolin (cav), phosphoinositide-3-OH kinase (PI-3K), phosphatidylinositide- (3,4,5) triphosphate 3 (PIP3), Protein kinase B (PKB/AKT), ras-extracellular signal-regulated kinase (ERK), Jun-NH₂-terminal kinase (JNK) /mitogen activated protein kinase (MAPK), p70 ribosomal protein S6 kinase (S6K), lymphoid enhancer factor (LEF)/T-cell factor (TCF), Glycogen synthase kinase-3 (GSK-3), adenomatosis coli gene product (APC), caspase (Casp), growth-factor receptors (GF-R), FLICE-inhibitory protein (Flip), Fas-associated death domain protein (FADD)]. (b) Signal transduction following loss of cell anchorage leading to anoikis. [MAP/ERK Kinase Kinase 1 (MEKK-1), Caspase (casp), cytochrome c (cyt c), Fas-Ligand (Fas-L), FLICE-inhibitory protein (Flip), Fas-associated death domain protein (FADD), DNA fragmenting factor (DFF)].

(Continued on next page.)



(a)

Přenos signálů po ztrátě kontaktu vedoucí k indukci anoikis



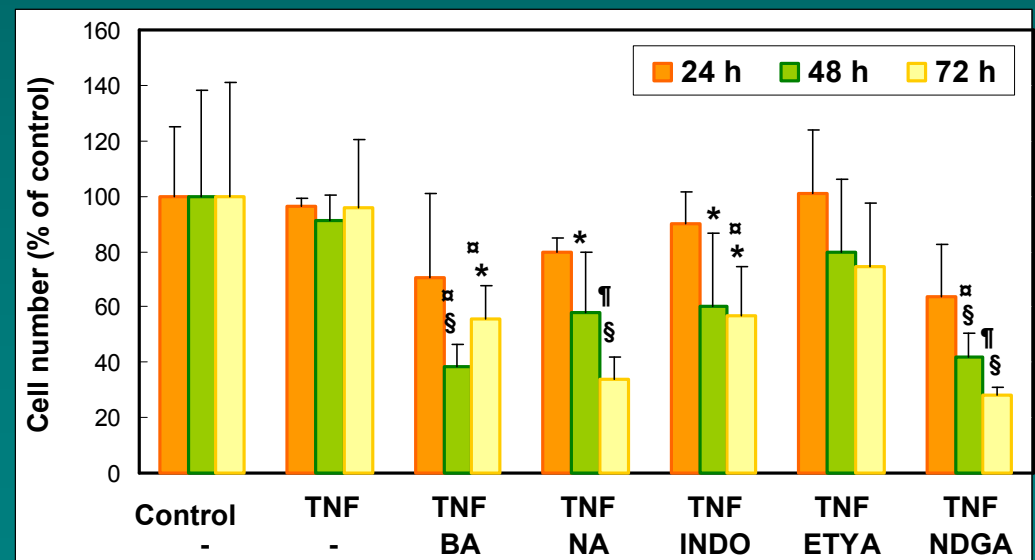
(b)

Inhibice metabolismu kyseliny arachidonové může ovlivnit citlivost epiteliálních buněk střeva k TNF- α

- Kyselina arachidonová (AA) může být v buňce metabolizována přes cyklooxygenázu (COX), lipoxygenázu (LOX) a cytochrom P450.
- Jednou z možností studia jednotlivých metabolických drah je použití inhibice příslušných enzymů:
 - Baicalein (BA) – 12-LOX inhibitor
 - NDGA – LOX inhibitor
 - Niflumová kys. (NA) – COX inhibitor
 - Indometacin (INDO) – COX inhibitor
 - ETYA – kompetitor AA

Epiteliální buňky HT-29 odvozené od adenokarcinomu tlustého střeva jsou relativně rezistentní k působení TNF- α .

Inhibice metabolismu AA způsobuje jejich zcitlivění k účinkům tohoto cytokinu.



INTERAKCE PROTEINŮ RODINY TNF S MASTNÝMI KYSELINAMI

INTERAKCE TNF- α S BUTYRÁTEM

TNF- α posiluje apoptózu, ale potlačuje diferenciaci indukovanou NaBt u epiteliálních buněk tlustého střeva



PERGAMON

European Journal of Cancer 36 (2000) 1844–1852

European
Journal of
Cancer

www.ejconline.com

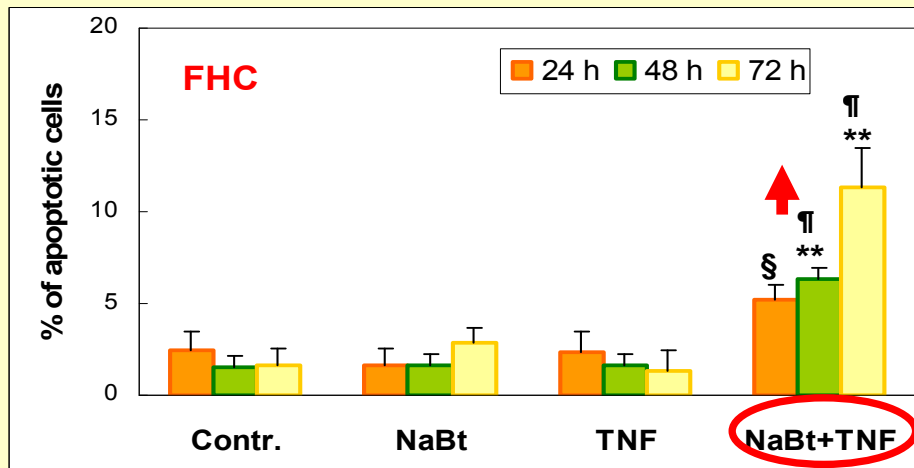
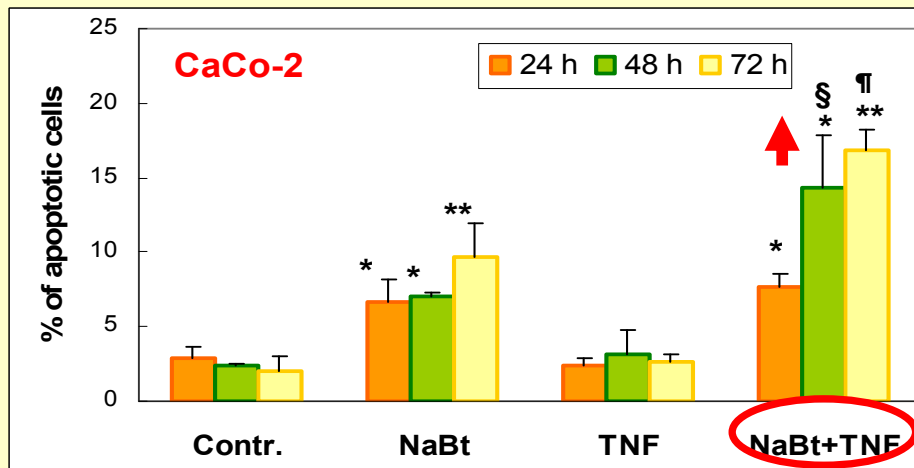
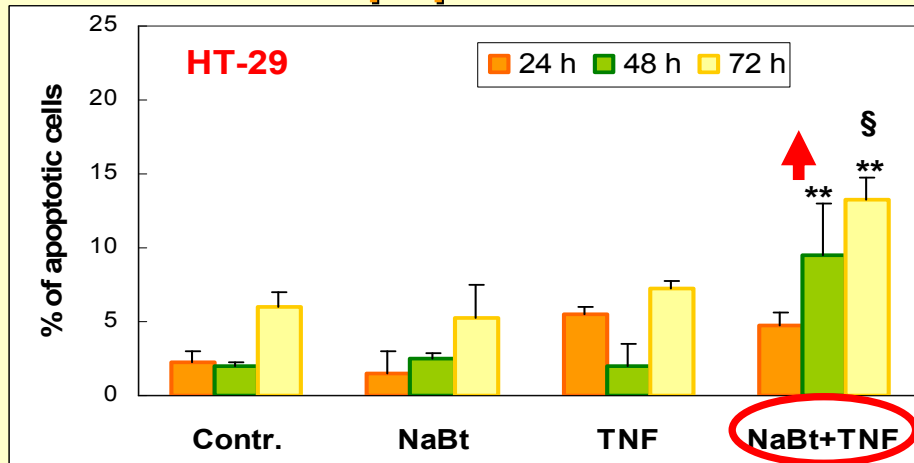
TNF- α modulates the differentiation induced by butyrate in the HT-29 human colon adenocarcinoma cell line

M. Kovaříková^a, J. Pacherník^a, J. Hofmanová^a,
Z. Zadák^b, A. Kozubík^{a,*}

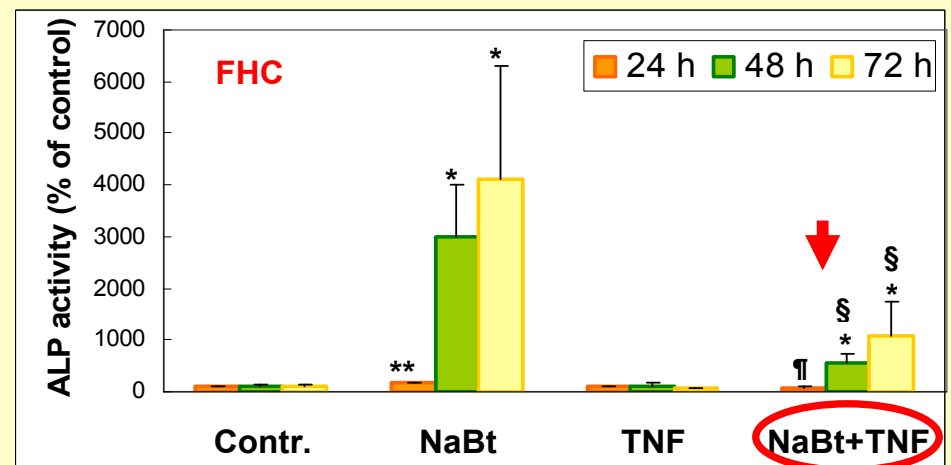
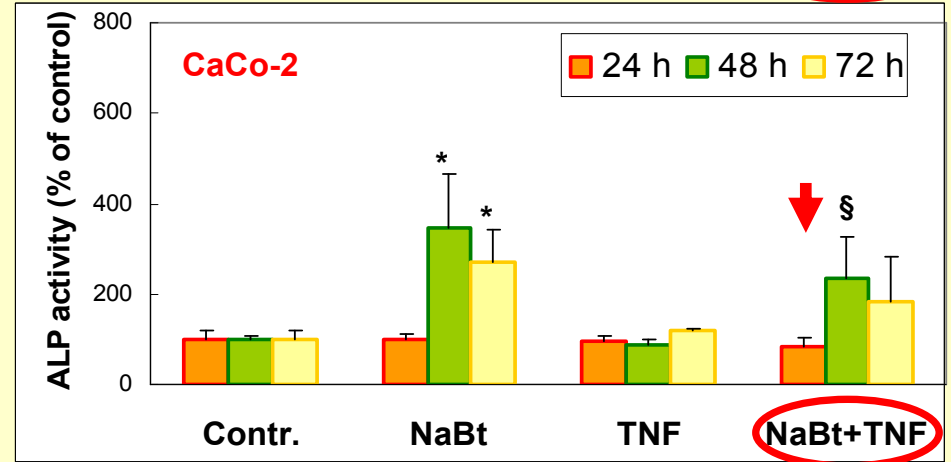
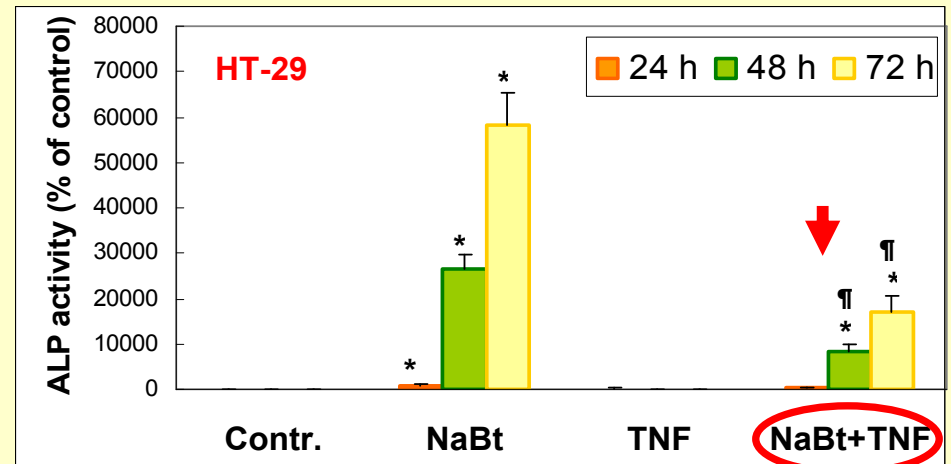
^aLaboratory of Cytokinetis, Institute of Biophysics, Academy of Sciences of the Czech Republic, CZ-602 65 Brno, Czech Republic

^bDepartment of Metabolic Care and Gerontology, Charles University, Teaching Hospital, Brno-Králové, Czech Republic

apoptóza



diferenciace



Citlivost nádorových buněk kolonu k TNF- α může být zvýšena inhibicí metabolismu kyseliny arachidonové a závisí na stupni diferenciaci

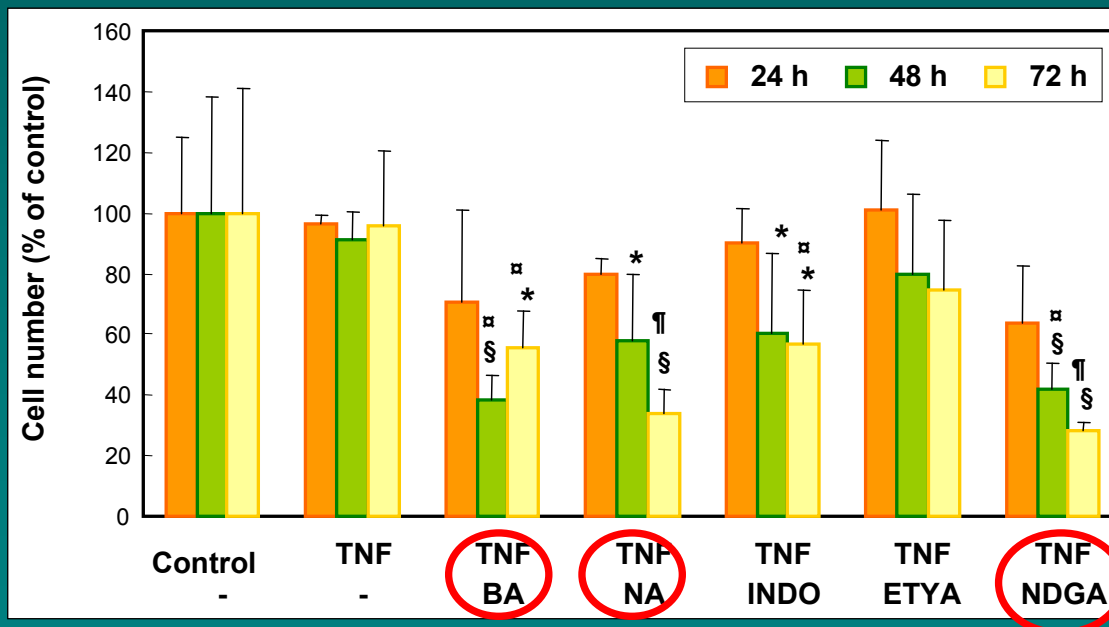
Differentiation (2004) 72:23-31

© International Society of Differentiation 2004

ORIGINAL ARTICLE

Martina Kovaříková · Jiřina Hofmanová ·
Karel Souček · Alois Kozubík

The effects of TNF- α and inhibitors of arachidonic acid metabolism on human colon HT-29 cells depend on differentiation status



- Baicalein (BA) – 12-LOX inhibitor
- NDGA – LOX inhibitor
- Niflumová kys. (NA) – COX inhibitor
- Indometacin (INDO) – COX inhibitor
- ETYA – kompetitor AA

Navožením diferenciace (působením NaBt) se buňky stávají citlivější k antiproliferačním a apoptickým účinkům $TNF\alpha$ a inhibitorů metabolismu AA

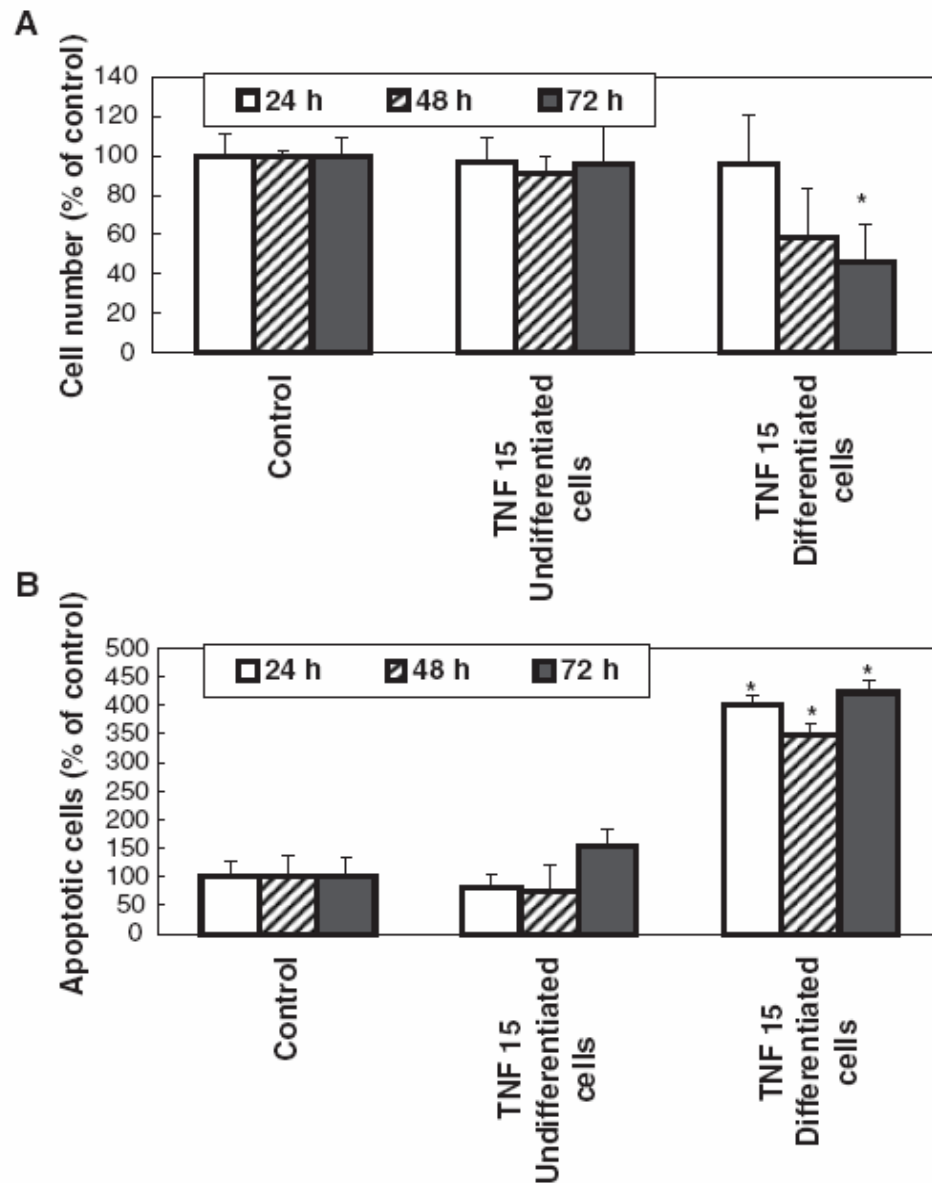


Fig. 2 Cell number (A) and apoptosis (B) (measured by fluorescence microscopy after DAPI staining) of undifferentiated and NaBt-differentiated HT-29 cells treated for 24, 48, or 72 hr (h) with $TNF-\alpha$ (15 ng/ml; TNF 15). * $P < 0.05$ versus $TNF-\alpha$ -untreated controls (considered as 100%).

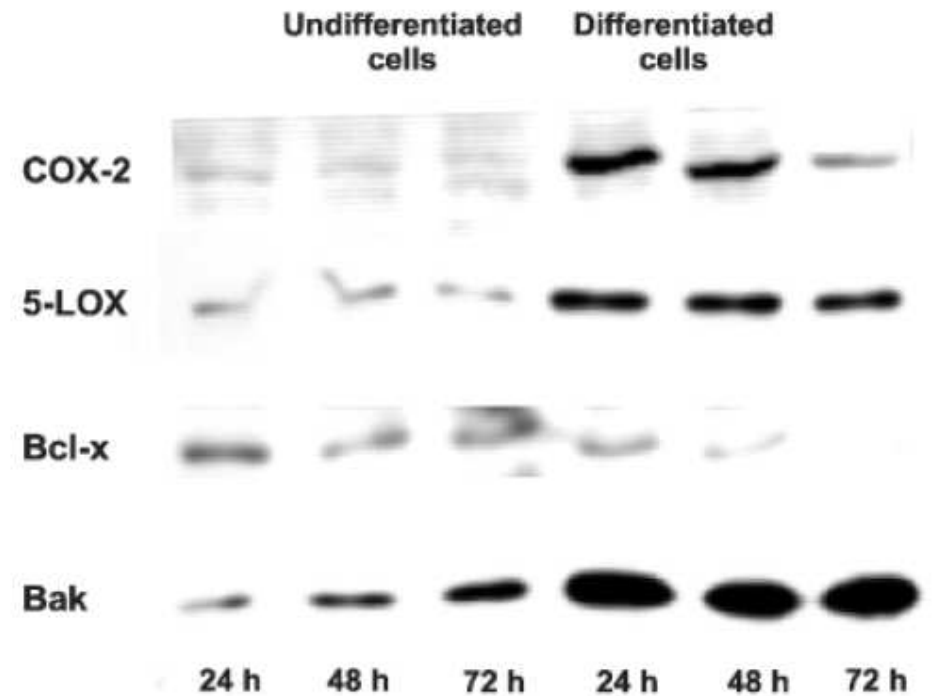


Fig. 1 Expression of COX-2, 5-LOX, Bcl-x, and Bak proteins in undifferentiated and NaBt-differentiated HT-29 cells cultivated for 24, 48, or 72 hr (h).

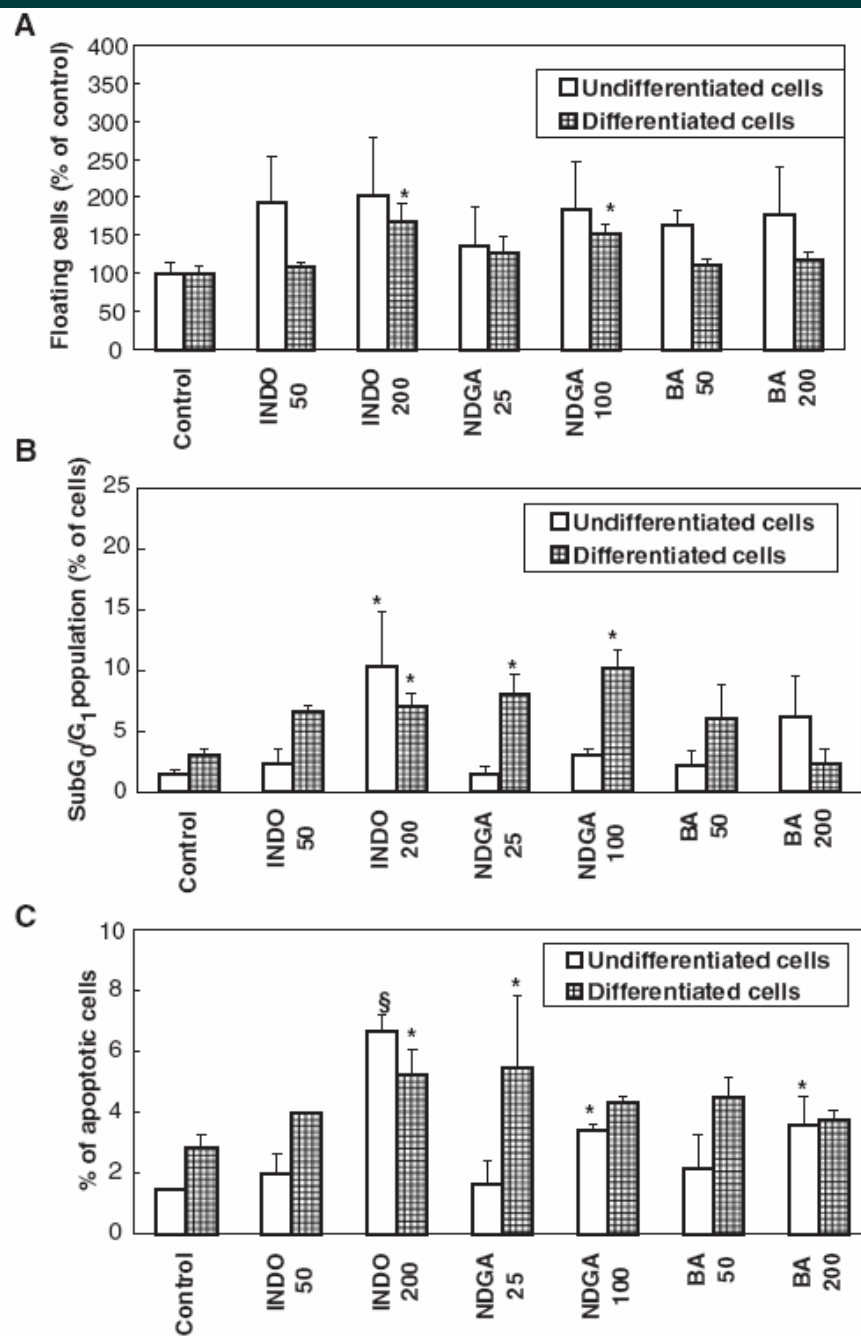


Fig. 4 Quantification of floating cells (A), sub-G₀/G₁ population (B), and morphologically detected apoptosis (C) in undifferentiated or NaBt-differentiated HT-29 cells treated for 48 hr with INDO (50 or 200 μ M), NDGA (25 or 100 μ M), or BA (50 or 200 μ M). * P <0.05 (§ P <0.001) versus inhibitor-untreated controls (considered as 100%).

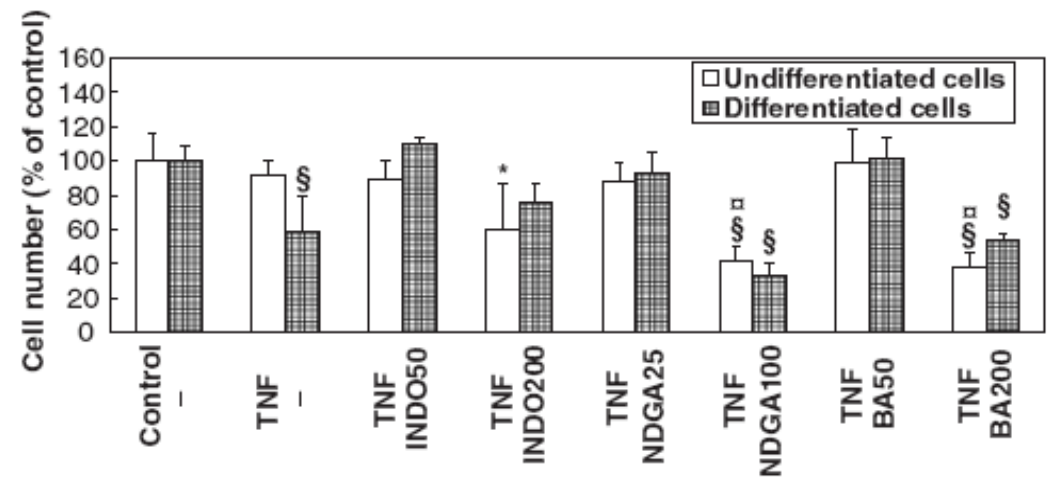


Fig. 5 Cell number of undifferentiated and NaBt-differentiated HT-29 cells treated for 48 hr with TNF- α (TNF; 15 ng/ml) or its combinations with INDO (50 or 200 μ M), NDGA (25 or 100 μ M), or BA (50 or 200 μ M). * P <0.05 (§ P <0.001) versus inhibitor- and TNF- α -untreated controls; ♂ P <0.05 versus TNF- α treatment.

AA a DHA zcitlivují nádorové buňky kolonu k působení apoptických induktorů rodiny TNF



Available online at www.sciencedirect.com

SCIENCE @ DIRECT®

Cancer Letters 229 (2005) 43–48

CANCER
Letters

www.elsevier.com/locate/canlet

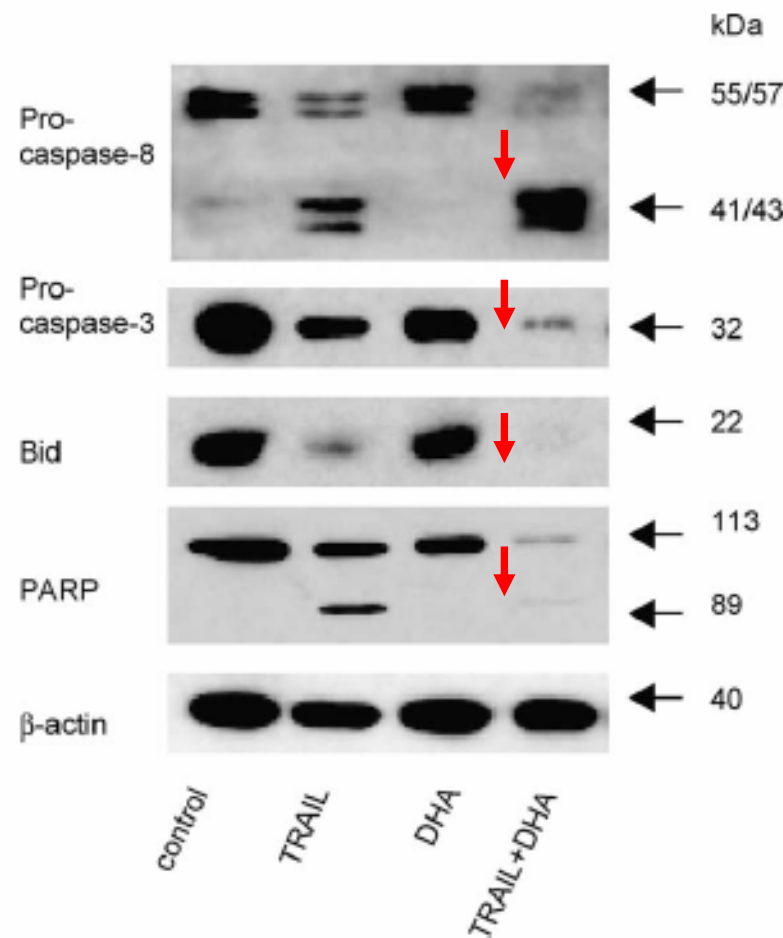
TRAIL and docosahexaenoic acid cooperate to induce HT-29 colon cancer cell death

Alena Vaculová^a, Jiřina Hofmanová^a, Ladislav Anděra^b, Alois Kozubík^{a,*}

^aLaboratory of Cytokinetics, Institute of Biophysics, Academy of Sciences of the Czech Republic, Královopolská 135, 612 65 Brno, Czech Republic

^bLaboratory of Cell Signalling and Apoptosis, Institute of Molecular Genetics, Vídeňská 1083, 142 20 Praha 4, Czech Republic

Received 6 November 2004; received in revised form 10 December 2004; accepted 13 December 2004



Polyunsaturated fatty acids sensitize human colon adenocarcinoma HT-29 cells to death receptor-mediated apoptosis

Jiřina Hofmanova^{*}, Alena Vaculova, Alois Kozubık

Laboratory of Cytokinetics, Institute of Biophysics, Academy of Sciences of the Czech Republic, Kralovopolska 135, CZ-612 65 Brno, Czech Republic

Received 15 June 2004; received in revised form 26 July 2004; accepted 29 July 2004

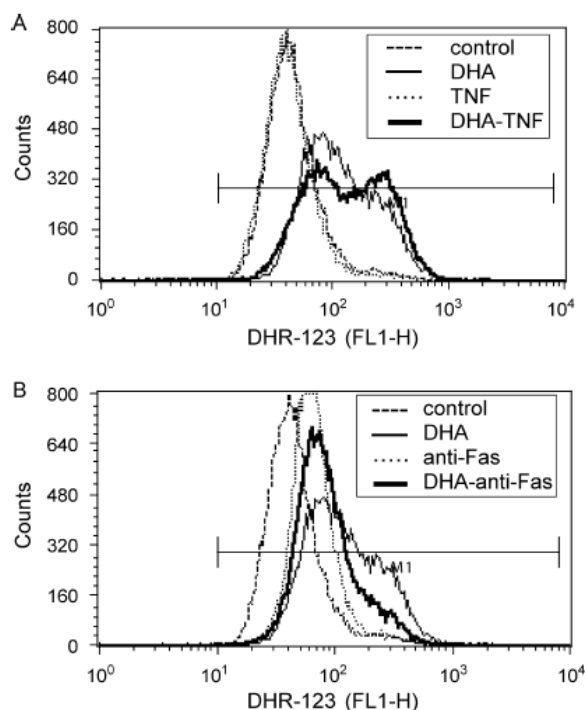


Fig. 4. Production of reactive oxygen species (ROS) in HT-29 cells non-pretreated or pretreated for 48 h with 20 μ M of docosahexaenoic (DHA) acid and then incubated for 24 h in PUFA-free medium without or with TNF- α (30 ng/ml, panel A) or anti-Fas (200 ng/ml, panel B). ROS were measured by FCM as dihydrorhodamine-123 (DHR-123) fluorescence (FL1-H). The figure is a representative result of three independent experiments.

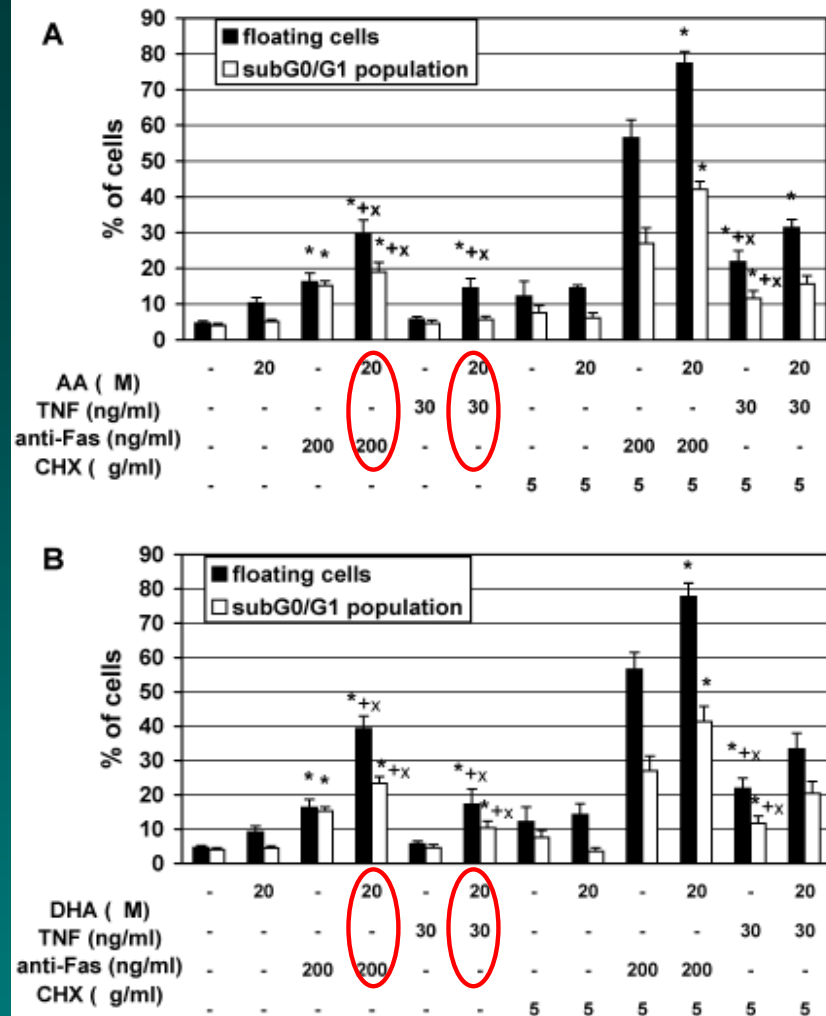


Fig. 2. The percentage of floating cells and subG0/G1 population of HT-29 cells non-pretreated or pretreated for 48 h with arachidonic (AA; panel A) or docosahexaenoic (DHA; panel B) acid and then incubated for 24 h in PUFA-free medium without or with TNF- α or anti-Fas. Experiments with cycloheximide (CHX) added to the cells for the last 27 h are presented in the right parts of panels. The values are means \pm SEM; $n=4$; statistical significance: $P<0.05$ (*) compared to non-treated control; (+) compared to TNF- α or anti-Fas and/or (X) to AA or DHA as single factors.

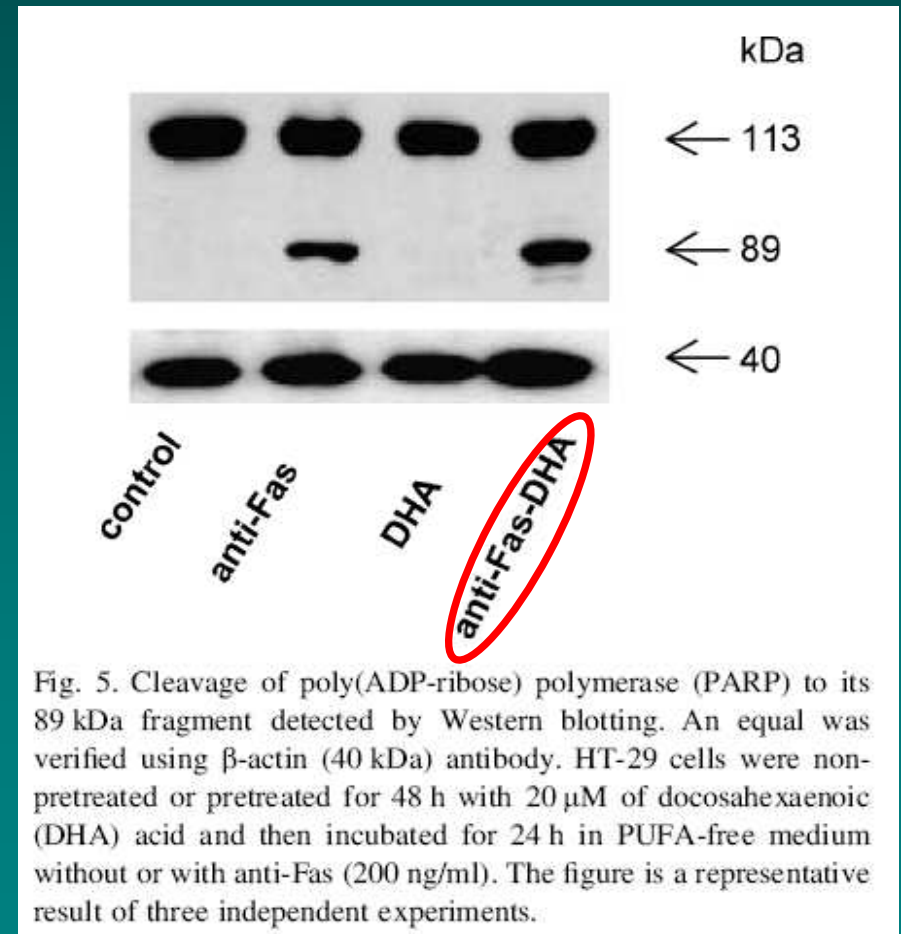
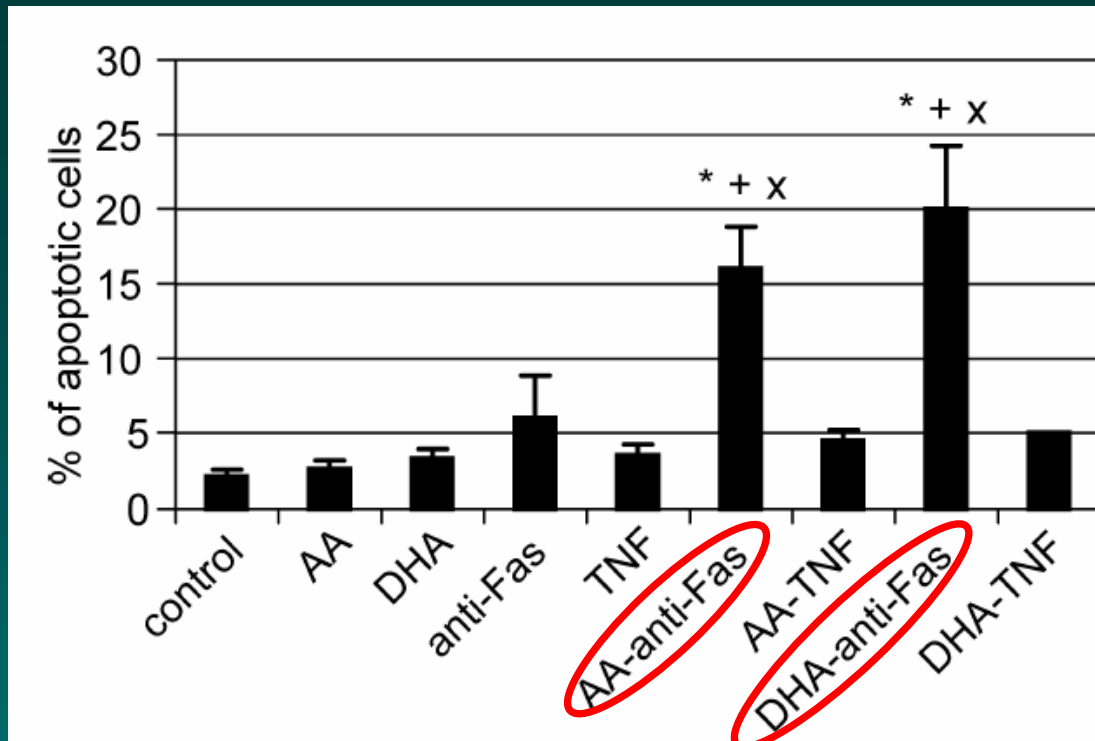


Fig. 5. Cleavage of poly(ADP-ribose) polymerase (PARP) to its 89 kDa fragment detected by Western blotting. An equal was verified using β-actin (40 kDa) antibody. HT-29 cells were non-pretreated or pretreated for 48 h with 20 μM of docosahexaenoic (DHA) acid and then incubated for 24 h in PUFA-free medium without or with anti-Fas (200 ng/ml). The figure is a representative result of three independent experiments.